

บทที่ 2

เอกสารและงานวิจัยที่เกี่ยวข้อง

บทนี้กล่าวถึงทฤษฎี เอกสารและงานวิจัยที่เกี่ยวข้องกับงานวิจัยนี้ซึ่งประกอบด้วย กระบวนการเคลือบฟิล์มบาง โครงสร้างของฟิล์มบาง กระบวนการ โกล์วิดิษาร์ การเคลือบฟิล์ม บางด้วยวิธีสปัตเตอริง ระบบเคลือบแบบดีซีแมกนีตรอนสปัตเตอริง ระบบเคลือบแบบอันบาลานซ์ แมกนีตรอนสปัตเตอริง การเคลือบฟิล์มบางด้วยวิธีรีแอคติฟสปัตเตอริง และการหาลักษณะเฉพาะ ของฟิล์มบาง ไทยเนียมอุ่มเนียม ในไตรด์ซึ่งมีรายละเอียดดังนี้

กระบวนการเคลือบฟิล์มบาง

การเคลือบฟิล์มบาง (Thin Film) ในสัญญาศาสตร์แรกทำโดย Bunsen และ Grove ในปี กศ. 1852 โดยพื้นฐานแล้วแนวคิดเกี่ยวกับ การเคลือบในสัญญาศาสตร์หรือการเคลือบฟิล์มบาง คือ การเรียงตัว (Fabricated) โดยการตกเคลือบ (Deposition) ของสารเคลือบในลักษณะอะตอมเดียว บนวัสดุรองรับ (Substrate) จนเกิดเป็นชั้นของฟิล์มที่บางมาก ในระดับนาโนเมตรถึงไมโครเมตร ซึ่งจากล่ามได้ว่า “ฟิล์มบาง (Thin Film) หมายถึง ชั้นของอะตอมหรือกลุ่มของอะตอมที่จับรวมกัน เป็นชั้นบาง ๆ” อย่างไรก็ได้การระบุว่าฟิล์มใดเป็น “ฟิล์มบาง” นั้นอาจพิจารณาได้จากลักษณะการใช้งานว่าใช้สมบัติด้านใดของฟิล์ม กล่าวคือ ถ้าเป็นการใช้สมบัติเชิงผิว (Surface Properties) จะเรียก ฟิล์มนั้นว่า “ฟิล์มบาง” แต่ถ้าเป็นการใช้สมบัติเชิงปริมาตร (Bulk Properties) จะเรียกฟิล์มนั้นว่า “ฟิล์มหนา” ทั้งนี้จะเห็นว่า ฟิล์มเดียวกันนั้นอาจเป็นทั้ง “ฟิล์มบาง” หรือ “ฟิล์มหนา” ก็ได้ขึ้นกับ ลักษณะการใช้งานเป็นสำคัญ (Bunshah, 1994)

ปัจุบันมีการนำฟิล์มบางมาประยุกต์ใช้ในงานด้านต่าง ๆ มากมาย เช่น งานด้าน อิเล็กทรอนิกส์ เช่น สารกึ่งตัวนำ ฟิล์มตัวนำ และฟิล์มตัวต้านทาน หรืองานด้านหัศศิศาสตร์ เช่น เลนส์ กระจกสะท้อนแสง กระจกสะท้อนความร้อน เป็นต้น นอกจากนี้ยังสามารถใช้วิธีการเคลือบ ฟิล์มบางในการเตรียมสารตัวอย่างสำหรับใช้ในการศึกษาสมบัติทางกายภาพของวัสดุในรูปของ ฟิล์มบาง ซึ่งสมบัติบางอย่าง ไม่สามารถวัดได้เมื่ออุ่นในสภาพเป็นก้อน (Bulk) เพราะจะนั่นข้อมูลเหล่านี้มีประโยชน์อย่างมากต่อการพัฒนาวัสดุเพื่อนำไปใช้ในอุตสาหกรรม

การเคลือบฟิล์มบาง เป็นกระบวนการที่ทำให้สารเคลือบตกเคลือบลงบนผิววัสดุรองรับ ที่ต้องการ ซึ่งสามารถทำได้ทั้งกระบวนการทางเคมีหรือกระบวนการทางฟิสิกส์ โดยพื้นฐานแล้ว กระบวนการเคลือบฟิล์มบางมีขั้นตอนสำคัญ 3 ขั้นตอน (Smith, 1995) ดังนี้คือ

1. การสร้างสารเคลือบ (Source) โดยทั่วไปแล้วสารเคลือบอาจอยู่ในรูปของ ของแข็ง ของเหลว ไอ หรือแก๊ส ก็ได้ แต่สารเคลือบจะทำการเคลือบนั้นจำเป็นต้องอยู่ในรูปของ ไอระเหย เท่านั้น ซึ่งวิธีการที่ทำให้สารเคลือบกลายเป็น ไอระเหยสามารถทำได้หลายวิธี เช่น การให้ความร้อน หรือการระดมยิงด้วยอนุภาคที่มีพลังงานสูง เป็นต้น

2. การเคลื่อนย้ายสารเคลือบมาข้างวัสดุรองรับ (Transport) ในภาวะสุญญากาศ ไอระเหยของสารเคลือบอาจมีการเคลื่อนที่เป็นเส้นตรง ไปยังวัสดุรองรับ หรืออาจจะเคลื่อนที่ไป ในลักษณะของไอล ซึ่งจะทำให้ไอระเหยของสารเคลือบมีการชนกับอนุภาคอื่นภายในภาชนะ สุญญากาศ นอกจากนี้ ไอระเหยอาจจะเคลื่อนที่ไปยังวัสดุรองรับในลักษณะของพลาสม่า ก็ได้

3. การสะสมพอกพูน (Deposition) เป็นขั้นตอนการพอกพูนของสารเคลือบ และ トイชีนจันกลาวยเป็นขั้นของพิล์มน้ำวนวัสดุรองรับ ขั้นตอนนี้จะขึ้นกับเงื่อนไขของวัสดุรองรับ หรือ การทำงานปฏิกริยาของสารเคลือบกับวัสดุรองรับ ความสะอาดของผิววัสดุรองรับ ตลอดจนพลังงาน ที่ใช้ในการเคลือบ

โครงสร้างของพิล์มน้ำ

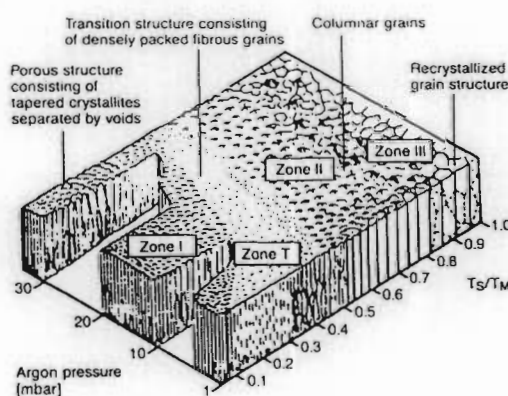
โครงสร้างของพิล์มน้ำจะเป็น ไปตามเงื่อนไขของอัตราส่วนระหว่างอุณหภูมิเคลือบกับ อุณหภูมิหลอมเหลว (T/T_m) ซึ่งแบ่งออกเป็น 4 ส่วน ตามลักษณะ โครงสร้างและสมบัติทางกายภาพ (ชีวารัตน์ ม่วงพัฒน์, 2544; หนึ่งฤทธิ์ แก้วไน, 2555) ดังภาพที่ 2-1

1. บริเวณ 1 (Zone1) เป็นการเคลือบ ที่เกิดในช่วงอุณหภูมิต่ำ และความดันขณะ เคลือบมีค่าสูง อะตอมที่อยู่บนผิววัสดุรองรับจะมีค่าสัมประสิทธิ์การแพร่ต่ำ ทำให้เกิดการเกาะกัน เป็นกลุ่มเด็ก ๆ กระจัดกระจาด และเกิดเป็น โครงสร้างผลึกที่มีลักษณะเรียบแหลมแบบ Tapers Crystallites จากนิวเคลียสที่มีปริมาณจำกัด ทำให้เกิดความหนาแน่นของ โครงสร้างต่ำ มีช่องว่าง ขนาดความกว้างในระดับ 100 \AA ที่ T/T_m เท่ากับ $0 - 0.1$ ที่ความดัน 1 mtorr ถ้าความดันสูง บริเวณ นี้จะขยายกว้างสู่บริเวณที่มีอุณหภูมิสูงขึ้น และทำให้ขนาดของผลึกเพิ่มขึ้น ถ้า T/T_m เพิ่มขึ้น เนื่องจากที่ความดันสูงความหนาแน่นของแก๊สในภาชนะสุญญากาศมีมากขึ้น อนุภาคของสาร เคลือบจะเคลือบที่ตกลงมา ได้ยากขึ้น ทำให้ออนุภาคของสารเคลือบตกลงมา ได้น้อย และขณะที่ตก อาจรวมตัวกับอนุภาคอื่น ทำให้ออนุภาคที่ตกลงมา มีขนาดใหญ่ และมีเวลาในการเคลือบเพื่อฟอร์ม ตัวเป็นนิวเคลียสมากขึ้น จึงทำให้ช่องว่างระหว่างเกรนมีขนาดใหญ่เกิดขึ้น ลักษณะของพิล์มน้ำ ที่ขรุระมักจะเกิดจากความไม่สม่ำเสมอของการ ตกลงของนิวเคลียส โดยอุณหภูมิที่มีผลต่อการ ตกลงพิล์มน้ำจะมาจากไอออนที่ระดมยิงเป็นส่วนใหญ่

2. บริเวณ T (Zone T) เป็นบริเวณด้านแบบสำหรับการเคลือบฟิล์มด้วยระบบสปีดเตอริง โดยที่ค่าของ T/T_m อยู่ในช่วง 0.1 - 0.5 ที่ความดันขณะเคลือบประมาณ 1 mtorr เกิดในช่วงระหว่างบริเวณ 1 และบริเวณ 2 อะตอมที่อยู่บนผิววัสดุ.org รับจะมีปริมาณมากขึ้น และได้รับพลังงานจากการชนของอนุภาคสารเคลือบ ทำให้อุณหภูมิของวัสดุ.org รับเพิ่มขึ้น ค่า Surface Mobility จะเพิ่มขึ้น และโครงสร้างในบริเวณ T ซึ่งจะเริ่มนิ่มเกรนบาง (Fibrous Grain) เต็มพื้นที่ และขอบเกรนมีความหนาแน่นสูงขึ้น จึงมีการแพร่ของอะตอมผ่านขอบเกรนที่ไม่แข็งแรงนั้นเข้าเป็นเนื้อเดียวกัน จนกลายเป็นคอลัมนาร์ (Columnar) ต่อไป โดยปรากฏช่องว่างบริเวณที่ขอบ

3. บริเวณ 2 (Zone II) ที่บริเวณ 2 จะมีค่า T/T_m อยู่ระหว่าง 0.5 - 0.8 ที่ความดันขณะเคลือบประมาณ 1 mtorr จะเกิดการแพร่ที่รอยต่อระหว่างขอบเกรน จนเกิดเป็นโครงสร้างแบบคอลัมนาร์ที่เกิดจากการอุ่นอย่างหนาแน่นของผลึกหักห邦 ขนาดของเกรนและความหนาของฟิล์มจะเพิ่มขึ้น เนื่องจากอุณหภูมิในการเคลือบและอัตราการเคลือบเพิ่ม (มีผลต่อ Surface Mobility ของอะตอม) และขนาดของคอลัมนาร์จะเพิ่มขึ้นเรื่อยๆ เมื่ออุณหภูมิเพิ่มขึ้น เนื่องจากการแพร่ที่บริเวณรอยต่อระหว่างขอบคอลัมนาร์

4. บริเวณ 3 (Zone III) บริเวณนี้อุณหภูมิสูงสุดและค่า T/T_m อยู่ระหว่าง 0.8 - 1.0 ที่ความดันขณะเคลือบประมาณ 1 mtorr การแพร่จะมีค่าสูง และส่งผลต่อโครงสร้างสุดท้าย โครงสร้างที่ได้จะเป็นเกรนที่มีค้านหักห邦 ขนาดของ คอลัมนาร์ จะมีขนาดใหญ่ และความหนาแน่นเพิ่มขึ้นอย่างไรก็ตามที่อุณหภูมิสูงอาจจะทำให้เกิดการขัดเรียงผลึกใหม่ (Recrystallization) เนื่องจากพลังงานสะสมของความเครียด (Stored Strain Energy) ที่เกิดขึ้นตั้งแต่ตอนเคลือบ เกรนที่เกิดขึ้นในขั้นตอนนี้จะเปลี่ยนจาก คอลัมนาร์ เป็นผลึกเดียว

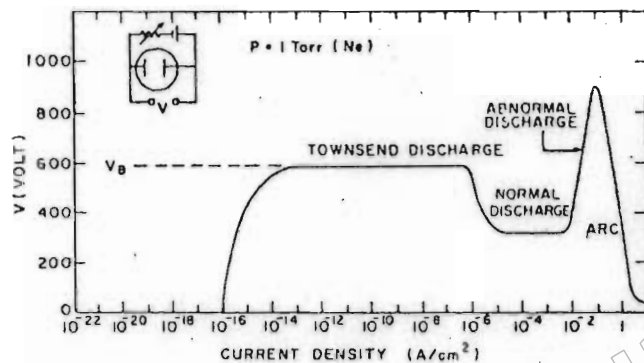


ภาพที่ 2-1 โครงสร้างของการเกิดฟิล์มในรูปแบบต่าง ๆ (ชีวารัตน์ ม่วงพัฒน์, 2544)

กระบวนการโกลว์ดิสชาร์จ

พิเชยฐ์ ลิมสุวรรณ และธนสสถา รัตนะ (2547) ได้อธิบายกระบวนการ โกลว์ดิสชาร์จไว้ดังนี้ เมื่อป้อนแรงดันไฟฟ้ากระแสตรงให้กับขั้วอิเล็กโทรด 2 ขั้ว ที่วางห่างกันเป็นระยะ d กilometre ได้ความดันประมาณ 1.33 mbar ของแก๊สนีออน พบร่วงแรกที่เพิ่มแรงดันทางไฟฟ้าจะมีกระแสไฟฟ้าในวงจรน้อยมาก กระแสส่วนนี้เกิดจากการเคลื่อนที่ของอิเล็กตรอนและไอออนของแก๊สที่เกิดขึ้นตลอดเวลาในบรรยากาศเนื่องจากการชนของรังสีคิอสมิกและถูกเร่งภายใต้สนามไฟฟ้า กระแสนี้จะมีค่าค่อนข้างคงที่เพราอัตราการเกิดประจุขึ้นอยู่กับความเข้มของรังสี เมื่อตักไฟฟ้าเพิ่มขึ้นไปอีกค่าแรงดันไฟฟ้าทะลาย (Breakdown Voltage: VB) พลังงานของประจุที่ถูกเร่งภายใต้สนามไฟฟ้าจะมีค่าสูงขึ้นจนสามารถโน้มเลกูลของแก๊สทำให้เกิดการแตกตัวเป็นไอออนบวกและอิเล็กตรอนซึ่งถูกเร่งภายใต้สนามไฟฟ้าให้มีการชนและเกิดการไออ่อนเพิ่มขึ้น ส่วนของไอ้อนบวกจะถูกเร่งเข้าชนคาโทด จนเกิดการปลดปล่อยอิเล็กตรอนทุติกุมิ (Secondary Electron) เรียกกระบวนการช่วงนี้ว่า หวาน์เซนต์ดิสชาร์จ (Townsend Discharge)

เมื่อแรงดันไฟฟ้าเพิ่มขึ้นถึงแรงดันไฟฟ้าทะลายจะเกิดกระบวนการคลัม (Avalanche) ทำให้ปริมาณไอ้อนบวกวิ่งเข้าชนคาโทดมากขึ้นและมีการปลดปล่อยอิเล็กตรอนทุติกุมิมากขึ้น ซึ่งจะถูกเร่งให้วิ่งเข้าหาอาโนดขณะเดียวกันอิเล็กตรอนทุติกุมินี้ก็จะมีการชนกับโน้มเลกูลของแก๊ส ทำให้เกิดไออ่อนมากขึ้น สุดท้ายไอ้อนบวกที่เพิ่มขึ้นมากขึ้นนี้ก็จะวิ่งเข้าชนคาโทดแล้วเกิดการปลดปล่อยอิเล็กตรอนทุติกุมิเพิ่มขึ้นตามมาด้วย และชนโน้มเลกูลแก๊สทำให้เกิดผลิตไออ่อนเพิ่มขึ้น ทำให้กระแสเพิ่มขึ้นอย่างรวดเร็วจนมีปริมาณไออ่อนมากเพียงพอที่จะผลิตอิเล็กตรอนได้ในจำนวนคงที่ ช่วงนี้ระบบสามารถรักษาสภาพดิสชาร์จได้ด้วยตนเองโดยไม่ต้องอาศัยแหล่งกำเนิดจากรังสีภายนอกในการผลิตไออ่อน ช่วงนี้แก๊สภายในระบบจะเกิดการเรืองแสงขึ้น แรงดันไฟฟ้าระหว่างอิเล็กโทรดลดลงและกระแสไฟฟ้าเพิ่มขึ้นอย่างรวดเร็วเรียกการเรืองแสงปกติ หรือ นอร์มอลโกลว์ (Normal Glow) สถานะนี้อัตราการปลดปล่อยอิเล็กตรอนทุติกุมิต่ออัตราการชนของไออ่อนมีค่าค่อนข้างต่ำ คือประมาณ 0.1 สำหรับเป้าคาโทดที่ทำจากวัสดุทั่วไป โดยในช่วงเริ่มต้นของการเรืองแสงหรือโกลว์ การชนของไออ่อนบนคาโทดจะปรับตัวเองให้เกิดขึ้นในบางบริเวณ แนวการเรืองแสงอาจเดือนไปมาได้และการชนของไออ่อนบนคาโทดไม่มีความสม่ำเสมอโดยจะมีความเข้มของบริเวณการเรืองแสงตามแนวขอบหรือมุมของคาโทดที่มีสนามไฟฟ้าสูงเพื่อรักษาสภาพการโกลว์ (Self-Sustaining) บางบริเวณไว้ เมื่อกระแสไฟฟ้านี้เพิ่มขึ้นตามแนวการชนของไออ่อนจะค่อยๆ ขยายตัว เพิ่มพื้นที่จันครอบคลุมตลอดผิวคาโทด จนกระทั่งมีค่าความหนาแน่นกระแสเท่ากันตลอดโดยมีค่าแรงดันไฟฟ้าระหว่างขั้วอิเล็กโทรดคงที่

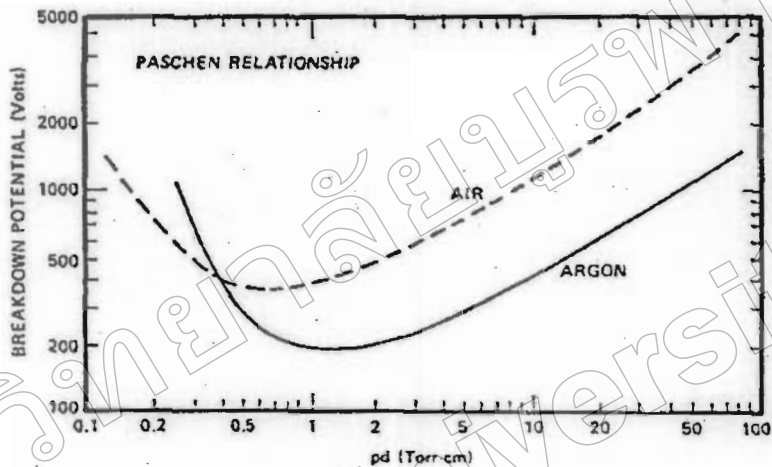


ภาพที่ 2-2 ความสัมพันธ์ของความหนาแน่นกระแสและแรงดันไฟฟ้าระหว่างข้ออิเล็กโทรดของกระบวนการเกิด ดีซี โกล์ว์ดิสชาร์จ ในหลอดสูญญากาศบรรจุแก๊ส呢อน (Vossen & Kerns, 1978)

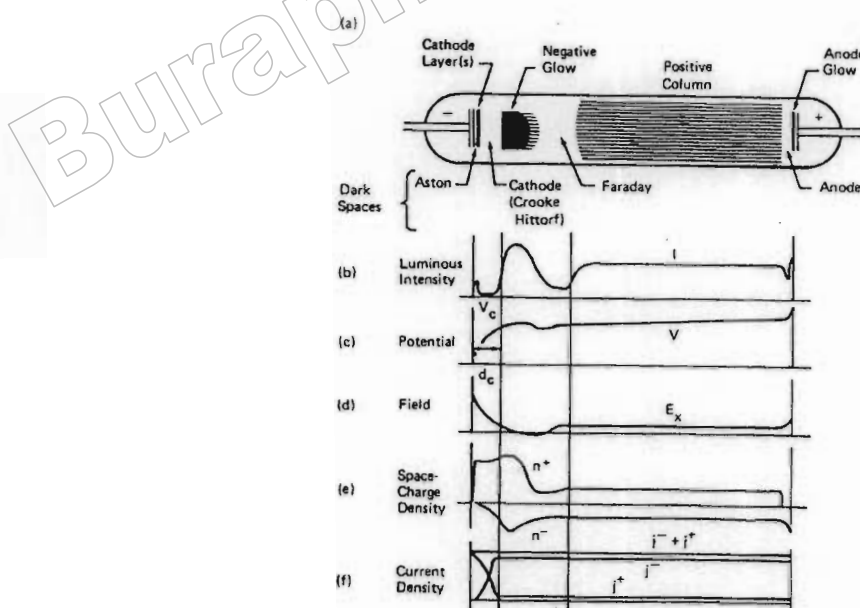
หลังจากการชนของไออ่อนครองคลุมพื้นที่ทึ่งหมวดของการโถดแล้ว การเพิ่มกำลังไฟฟ้าเข้าสู่ระบบจะทำให้ห้องดันไฟฟ้าและกระแสไฟฟ้ามีค่าเพิ่มขึ้น เรียกว่า ช่วงการเรืองแสงผิดปกติ เปลงแสงว้าขึ้น หรือ แอบนอร์มอลโกลว์ (Abnormal Glow) เป็นช่วงที่ใช้กับระบบสปีตเตอริง และ อีกหลาย ๆ ระบบของการกระบวนการเก็บข้อมูล โกลว์ดิสชาร์จ ช่วงนี้ถ้าไม่ระบายความร้อนให้กับ ค่าโถด เมื่อความหนาแน่นของกระแสของค่าโถดเพิ่มขึ้นสูงประมาณ $0.1 A/cm^2$ ความร้อนที่เกิด จากการชนของไออ่อนบวกกับนิวเคลียลมีมากขึ้น จะเกิดการปล่อยอิเล็กตรอนแบบเทอร์มิอ่อนนิค (Thermionic Electron Emission) เสริมกับการปลดปล่อยอิเล็กตรอนทุติยภูมิและติดตามด้วย กระบวนการถล่มอิทธิพลนี้ ทำให้ความนำไฟฟ้าของแก๊สในระบบสูงขึ้นอย่างรวดเร็ว แรงดันไฟฟ้าระหว่างข้ออิเล็กโทรดลดลงมากขณะที่กระแสไฟฟ้าเพิ่มสูงขึ้นและเปลงประกายจ้า ของการอาร์ค (Arc Discharge) ภาพที่ 2-2

ค่าแรงดันไฟฟ้าหลายในกระบวนการ โกลว์ดิสชาร์จจะมีค่าเปลี่ยนแปลงไปกับระยะทาง d ระหว่างอิเล็กโทรดและระยะปลดการชนระหว่างอิเล็กตรอนทุติยภูมิ และ โมเลกุลของแก๊ส (ระยะปลดการชนของอิเล็กตรอนทุติยภูมินี้จะแปรผันกับความดัน และมีค่ามากกว่าระยะปลด การชนของการชนกันเองระหว่างโมเลกุลแก๊ส) ปกติอิเล็กตรอนทุติยภูมิแต่ละตัวมีความสามารถในการผลิตไออ่อนบวกได้ระหว่าง 10 ถึง 20 ตัว เพื่อให้เกิดกระบวนการถล่มในช่วงของนอร์มอล โกลว์ ถ้าความดันต่ำเกินไป (ระยะปลดการชนขาวขึ้น) หรือระยะทาง d มีค่าน้อยเกินไป อิเล็กตรอนทุติยภูมิจะไม่สามารถผลิตไออ่อนได้มากพอ ก่อนการชนกันอาจอนาคต ถ้าความดันสูงเกินไป (ระยะปลดการชนสั้นลง) หรือระยะ d มากเกินไป อิเล็กตรอนทุติยภูมิไม่สามารถเพิ่ม พลังงานให้กับตัวเองในสถานะไฟฟ้าได้มากพอ สำหรับใช้ในการไออ่อนนี้ เมื่อกัดการชนพลังงาน

จะถูกถ่ายทอดให้ไม่เกิดแก๊สในรูปการกระตุน (Excite) ขึ้นไปอยู่ในระดับพลังงานที่สูงขึ้นทำให้ไม่สามารถผลิตไออกอนบวกได้มากเพียงพอเช่นกัน ดังนั้นทั้งสองกรณีจะต้องใช้แรงดันทางไฟฟ้าเท่ากันค่อนข้างสูง โดยมีจุดหนึ่งระหว่างนี้ที่ใช้ค่าแรงดันไฟฟ้าเท่ากันคือแรงดันไฟฟ้าเท่ากับความดันแก๊ส (P) และระยะระหว่างอิเล็กโทรด (d) (ภาพที่ 2-3)



ภาพที่ 2-3 ความสัมพันธ์ระหว่างแรงดันไฟฟ้าเท่ากันและระยะระหว่างความดัน (P) และระยะระหว่างอิเล็กโทรด (d) (Bunshah, 1994)



ภาพที่ 2-4 โกลว์ดิชาร์จของหลอดนีออนยาว 50 cm ที่ความดัน 1.33 mbar (Chapman, 1980)

ในระบบสปีตเตอริงทั่วไป สภาวะของการเกิด โกล์วคิสชาร์จจะกระทำในช่วงที่ผลคูณของความดันกับระยะห่างระหว่างอิเล็กโทรด (Pxd) ซึ่งมีค่าต่ำกว่าจุดต่ำสุดของกราฟมาก (เนื่องจาก การเคลื่อนฟิล์มที่ความดันต่ำทำให้ฟิล์มที่ได้มีคุณภาพดี การแทรกตัวของแก๊สในเนื้อฟิล์มน้อยและ ลดปริมาณสารปลอมปนในฟิล์ม) จึงต้องการแรงดันไฟฟ้าเริ่มต้นค่อนข้างสูง บางครั้งจึงมี ความจำเป็นต้องใช้การเพิ่มความดันชั่วขณะเพื่อให้เริ่มการคิสชาร์จได้ที่แรงดันไฟฟ้าต่ำ

ส่วนต่อๆ ของกระบวนการ โกล์วคิสชาร์จ แสดงได้ดังภาพที่ 2-4 แต่ละส่วนอธิบาย ได้ดังนี้ ช่วงแรกคือช่วงมีดแอสตัน (Aston Dark Space) เป็นบริเวณที่อิเล็กตรอนถูกปล่อยจาก คาโทดด้วยพลังงานต่ำประมาณ 1 eV ซึ่งไม่สามารถไอออกในช่องไมเลกูลแก๊สได้ ทำให้เกิดเป็นช่วง มีด ถัดจากผิวคาโทดบริเวณที่มีการเปล่งแสงออกมารückward ความเข้มสูงมากเรียกว่า คาโทดโกล์ว (Cathode Glow) เป็นบริเวณที่ไอออกของแก๊สจาก การคิสชาร์จ และ ไอออกของอะตอมสารเคลื่อน ซึ่งถูกผลิตขึ้นบริเวณคาโทด มีการรวมตัวเป็นคลUSTER กับอิเล็กตรอน ใกล้ผิวคาโทดด้วยกระบวนการ ต่อๆ ทำให้เกิดแสงซึ่งเป็นความถี่เฉพาะของสารที่ทำคาโทดและของแก๊สที่ใช้ เช่นถ้าคาโทดเป็น ทองแดงจะมีสีเขียว ของคำว่าสีส้มแดง แก๊สราร์กอนมีสีน้ำเงินฟ้า และแก๊สไนโตรเจนมีสีม่วง เป็นต้น

ถัดจากคาโทด โกล์วเรียกว่าช่วงมีดครุหรือช่วงมีดคาโทด (Crook or Cathode Dark Space) พลังงานของอิเล็กตรอนมีค่าสูงกว่าพลังงานในการ ไอออกในช่องไมเลกูลของแก๊สเมื่อถูกเร่ง ผ่านสนามไฟฟ้าในระบบปลดปล่อยการชนออกมารückward ทำให้บริเวณปลดปล่อยการชนนั้นไม่มีกระบวนการ กระตุ้นหรือ ไอออกในช่องแก๊ส การปลดปล่อยแสงจึงไม่เกิดในช่วงนี้ และถ้าขยายเป็นบริเวณมีด ถัดจาก ระบบปลดปล่อยการชนออกไประดับอิเล็กตรอนที่ดูดภูมิใจสูญเสียพลังงานส่วนใหญ่โดยการ ไอออกในช่อง ไมเลกูลของแก๊ส ไอออกน้ำที่เกิดขึ้นเคลื่อนที่ได้ช้ากว่าอิเล็กตรอนมาก ทำให้ระบบปลดปล่อยการชน ของอิเล็กตรอนมีการสะสมของ ไอออกบวกอยู่มาก (Positive Space Charge) ศักยไฟฟ้าเกือบ ทั้งหมดคงคร่อมบริเวณคาโทดดาวร์คสเปชนี้ ทำให้สนามไฟฟ้าบริเวณนี้สูงขึ้นมากและมากเกินพอ ในการเร่งอิเล็กตรอนชนและ ไอออกในช่องไมเลกูลของแก๊ส ในเวลาเดียวกันจึงทำให้ภายในห้องการเกิดนอร์ มองโกล์ว แรงดันไฟฟ้าที่ตกคร่อมช้า อิเล็กโทรดมีค่าลดลงตามกราฟ ดังภาพที่ 2-2 ส่วนอิเล็กตรอน เมื่อ离开จากบริเวณที่ผลิต ไอออกของดาวร์คสเปชแล้วจะมีพลังงานลดต่ำลงมาก ดังนั้นพลังงานที่ เหลือจึงเพียงใช้ในการกระตุ้น ไมเลกูลของแก๊สและเกิดการเรืองแสงขึ้น แม้อิเล็กตรอนจะเป็น อนุภาคที่เคลื่อนที่ได้เร็วแต่ พลังงานที่เหลือน้อยมากรวมทั้ง ประจุบวกและประจุลบของ ไอออก ทางด้านซ้ายมือในบริเวณดาวร์คสเปชทำให้อิเล็กตรอนใช้เวลาในการเคลื่อนที่ผ่านช่วงเรืองแสงนี้ นานขึ้นและเกิดการสะสมประจุลบบริเวณนี้ จึงเรียกว่า เนกาทีฟ โกล์ว (Negative Glow)

จากนั้นอิเล็กตรอนจะมีพลังงานลดลงจนไม่สามารถกระตุนโมเลกุลแก๊สให้เปลี่ยนไปอยู่ในระดับพลังงานสูงได้ ทำให้เกิดบริเวณมืดอีกด้วยที่เรียกว่า ช่วงมืดฟาราเดย์ (Faraday Dark Space) ถัดจากช่วงนี้กระบวนการที่เกิดขึ้นคือยกการดิสชาร์จของทารวณ์ เช่นดังนี้ที่มีปริมาณอิเล็กตรอนค่อนข้างคงที่ถูกเร่งภายใต้สนามไฟฟ้าค่าต่ำ ๆ ทำให้อิเล็กตรอนถูกเร่งเข้าสู่อาโนด และมีพลังงานสูงพอสำหรับการกระตุนโมเลกุลของแก๊สหรือ ไอออนนี้และเกิดการเรืองแสงขึ้นที่บริเวณนี้อีกรังหนึ่ง อิเล็กตรอนซึ่งเคลื่อนที่เร็วจะถูกความเข้าสู่อาโนดอย่างรวดเร็วทำให้พลาสมาบริเวณนี้มีประจุบวกสูงกว่าจึงเรียกว่า ลำเรืองแสงศักย์ไฟฟ้าบวก (Positive Glow Column)

เนื่องจากการรักษาสภาพโกลว์ดิสชาร์จขึ้นกับปริมาณของอิเล็กตรอนที่ถูกผลิตขึ้น บริเวณคาโทดจากการชนของไอออนที่ถูกผลิตบริเวณนาทีฟโกลว์ จึงพบว่าการเปลี่ยนแปลงตำแหน่งอาโนดเพียงเล็กน้อยจะไม่มีผลต่อกระบวนการโกลว์ดิสชาร์จ เมื่อเลื่อนอาโนดเข้าหาคาโทด จนพื้นที่ช่วงมืดฟาราเดย์ เข้าสู่แนวภาพไฟโกลว์จนถึงช่วงคาโทดดาวร์คสเปช ทำให้ปริมาณไอออนที่ถูกผลิตจากอิเล็กตรอนทุติยภูมิมีปริมาณน้อยลง การรักษาสภาพโกลว์ดิสชาร์จไว้ จำเป็นต้องใช้แรงดันไฟฟ้าที่สูงขึ้นซึ่งจะส่งผลถึงปริมาณไอออนที่ถูกผลิตสูงขึ้นด้วย การโกลว์ในลักษณะนี้จะเรียกว่า օบปัสดรัค โกลว์ (Obstructed Glow) และเมื่อเลื่อนอาโนดเข้าใกล้คาโทดต่ำมาจนพื้นของ คาโทด ดาวร์คสเปช ซึ่งมีระยะห่างระหว่างบล็อกของการชนของอิเล็กตรอน จะไม่มีการผลิตไอออนเกิดขึ้นและกระบวนการดิสชาร์จไว้ได้ และถ้าหากมีสิ่งสกปรกบนบริเวณคาโทด การอาร์คอาจเกิดขึ้น ได้โดยไม่เกิดการโกลว์ดิสชาร์จก็ได้

การเคลื่อนฟิล์มนบางด้วยวิธีสปีดเตอริง

การเคลื่อนด้วยวิธีสปีดเตอริง เป็นกระบวนการพอกพูนของชั้นฟิล์มนบางที่เกิดจากสารเคลื่อนที่ได้จากการกระบวนการสปีดเตอร์ การเคลื่อนด้วยวิธีนี้เกิดขึ้นเมื่ออะตอมของสารเคลื่อนที่ได้จากการกระบวนการสปีดเตอร์วิ่งเข้าชนวัสดุรองรับและมีการพอกพูนและโตเป็นฟิล์มนบางในที่สุด กระบวนการสปีดเตอริงคือการทำให้อะตอมหลุดจากผิวของวัสดุโดยการชนของอนุภาคพลังงานสูง แล้วมีการแยกเปลี่ยนพลังงานและโมเมนตัมระหว่างอนุภาคที่วิ่งเข้าชนกับอะตอมที่ผิวสารเคลื่อน โดยอนุภาคที่วิ่งเข้าชนอาจเป็นกลางทางไฟฟ้าหรือมีประจุก็ได้ และเนื่องจากไอออนที่ได้จากการกระบวนการสปีดเตอร์ในการเคลื่อนฟิล์มนบางด้วยวิธีสปีดเตอริงจะเคลื่อนที่ด้วยความเร็วสูงกว่า วิธีการระเหยสารมาก ดังนั้นมีอะตอมของสารเคลื่อนที่วิ่งเข้ากระทบแผ่นวัสดุรองรับก็จะฟังตัวแน่นลงในเนื้อวัสดุที่ต้องการเคลื่อนมากกว่าวิธีระเหยสาร ดังนั้นการเคลื่อนด้วยวิธีสปีดเตอริงจะทำให้การยึดเกาะระหว่างสารเคลื่อนกับวัสดุรองรับดีกว่า (พิเชยชู ลิมสุวรรณ และธนัสสา รัตนะ, 2547; Chapman, 1980)

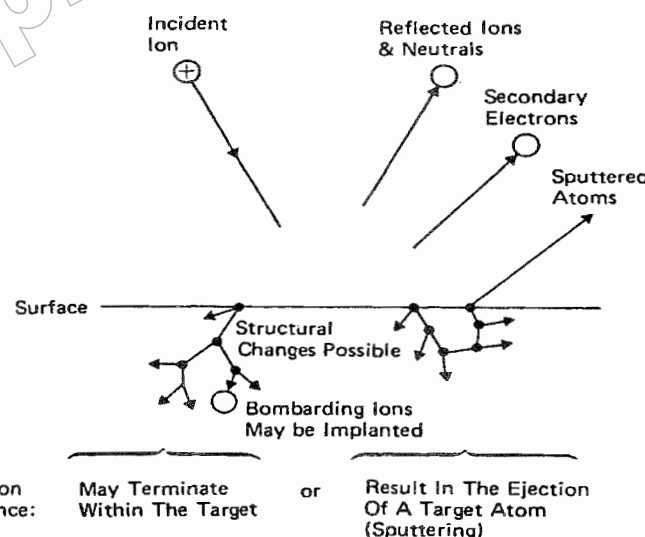
เมื่อพิวหน้าของวัสดุถูกระดมยิงด้วยอนุภาคพลังงานสูงจะทำให้เกิดการสึกกร่อนและมีอนุภาคที่พิวหน้าของวัสดุนั้นหลุดมา เนื่องจากการชนของอนุภาคพลังงานสูงกับอนุภาคที่พิวหน้า ปรากฏการณ์ที่อนุภาคพิวหน้าวัสดุหลุดออกมานี้เรียกว่า สปัตเตอร์ (Sputter) หรือสปัตเตอริง (Sputtering) กระบวนการสปัตเตอริงนี้ถูกค้นพบครั้งแรกเมื่อ 100 ปีที่ผ่านมาโดย grove ซึ่งในขณะนั้นสปัตเตอริงเป็นกระบวนการที่ทำให้เกิดความเสียหายกับค่าトイดและกริดในหลอดดิสชาร์จ แต่ปัจจุบันมีการนำมาประยุกต์ใช้อย่างกว้างขวาง เช่น การทำความสะอาดพิวหน้า (Surface Cleaning) การกัดเซาะ (Etching) การวิเคราะห์ชั้นพิวหน้าของวัสดุ (Surface Layer Analysis) และการเคลือบฟิล์มบาง

สำหรับแนวคิดเบื้องต้นเกี่ยวกับกระบวนการสปัตเตอริง ขอanalyse ได้ดังนี้

1. อันตรกิริยะระหว่าง ไอออนและฝูงเป้าสารเคลือบ เมื่อวิ่งชนพิวหน้าวัสดุจะเกิดปรากฏการณ์ดังนี้

1.1 การสะท้อนที่พิวหน้าของไอออน (Reflected Ion and Neutral) ไอออนอาจสะท้อนกลับจากพิวหน้าซึ่งส่วนใหญ่จะสะท้อนออกมายังรูปของอะตอมที่เป็นกลางทางไฟฟ้าอันเกิดจากการรวมตัวกับอิเล็กตรอนที่พิวเป้าสารเคลือบ

1.2 การปลดปล่อยอิเล็กตรอนชุดที่สอง (Secondary Electron Emission) จากการชนของไอออนอาจทำให้เกิดการปลดปล่อยอิเล็กตรอนชุดที่สองจากเป้าสารเคลือบถ้าไอออนนั้นมีพลังงานสูงพอ



ภาพที่ 2-5 อันตรกิริยะระหว่าง ไอออนกับพื้นผิววัสดุ (Chapman, 1980)

1.3 การฝังตัวของไอออน (Ion Implantation) ไอออนที่วิ่งชนเป้าสารเคลือบนั้นอาจฝังตัวลงในสารเคลือบ โดยความลึกของการฝังตัวจะแปรผันโดยตรงกับพลังงาน ไอออน ซึ่งมีค่า $10 \text{ อั้งสตรอม} / \text{พลังงาน ไอออน } 1 \text{ keV}$ สำหรับ ไอออนของแก๊สสารกอนที่ฝังตัวในทองแดง

1.4 การเปลี่ยนโครงสร้างของพิวาร์เคลือบ (Target Material Structural Rearrangements) การชนของ ไอออนบนพิวาร์เคลือบทาให้เกิดการเรียงตัวของอะตอมที่พิวาร์เคลือบใหม่และเกิดความบกพร่องของลักษณะ (Lattice Defect) โดยเริ่กการจัดตัวใหม่ของโครงสร้างพิวานหานี้ว่า Altered Surface Layer

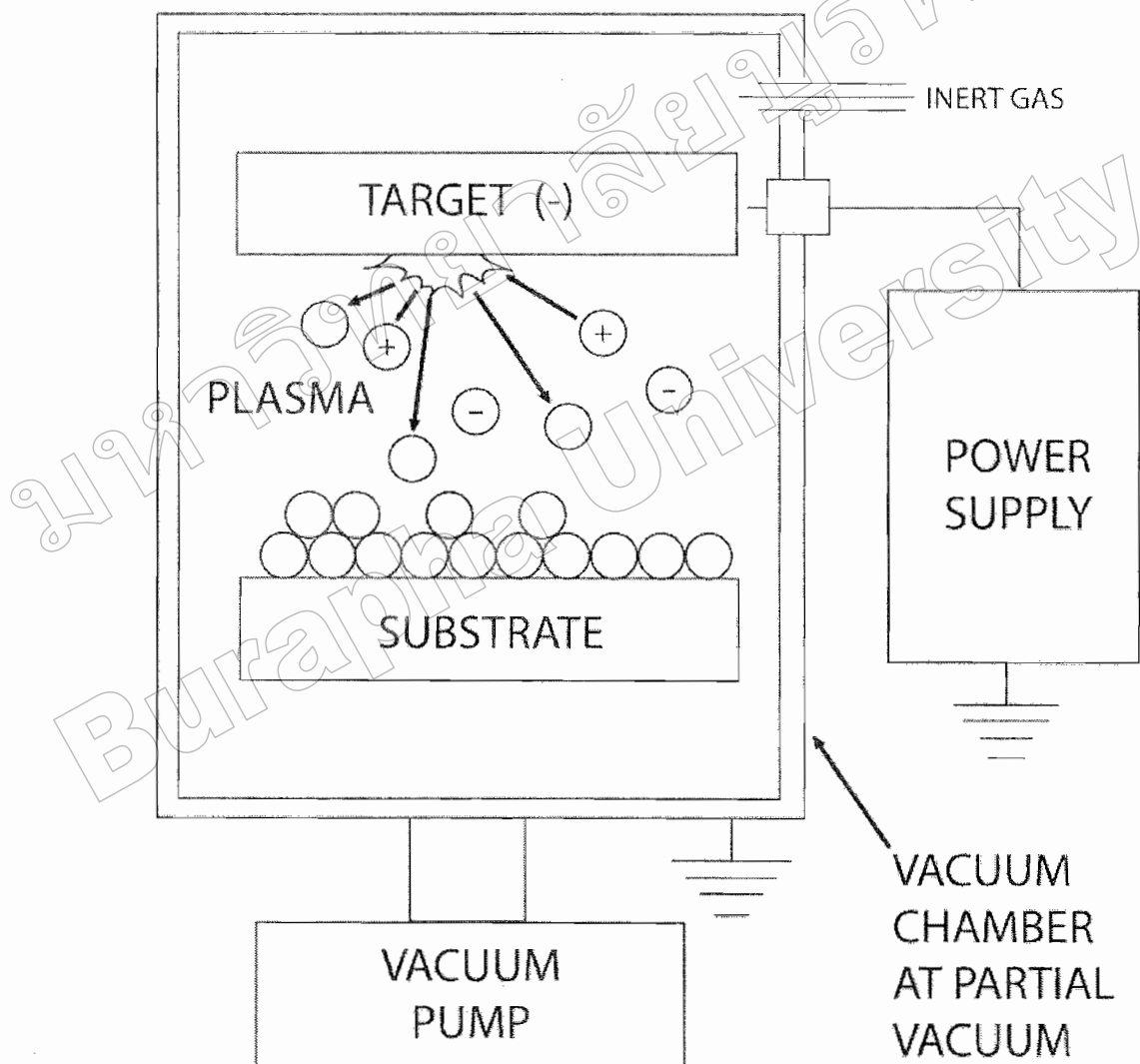
1.5 การสปัตเตอร์ (Sputter) การชนของ ไอออนอาจทำให้เกิดกระบวนการกราฟกันแบบต่อเนื่องระหว่างอะตอมของเป้าอันทำให้เกิดการปลดปล่อยอะตอมจากเป้าสารเคลือบซึ่งเรียกว่ากระบวนการการสปัตเตอร์ริง

2. กระบวนการสปัตเตอร์ริง เป็นกระบวนการที่อะตอมพิวานหาน้ำของวัสดุถูกทำให้หลุดออกมากด้วยการชนของอนุภาคพลังงานสูง โดยมีการแลกเปลี่ยนพลังงานและโมเมนตัมระหว่างอนุภาคที่วิ่งเข้าชนกับอะตอมที่พิวาร์เคลือบคล้ายๆ กัน กระบวนการนี้อนุภาคที่วิ่งเข้าชนอาจเป็นกลาทางไฟฟ้าหรือมีประจุก็ได้ดังนั้นสิ่งที่จำเป็นในกระบวนการสปัตเตอร์ริง ก็คือ

2.1 เป้าสารเคลือบ ทำหน้าที่เป็นเป้าให้ออนภาคพลังงานสูงวิ่งเข้าชนจนมีการปลดปล่อยอะตอมของสารเคลือบลงเคลือบบนวัสดุรองรับ

2.2 อนุภาคพลังงานสูง ซึ่งวิ่งชนเป้าสารเคลือบ และทำให้อะตอมของเป้าสารเคลือบหลุดออกมา ปกติอนุภาคพลังงานสูงนี้อาจเป็นกลาทางไฟฟ้า เช่น นิวตรอน หรืออะตอมของธาตุต่างๆ แต่การทำให้ออนภาคที่เป็นกลามีพลังงานสูงเกิน 10 eV เพื่อใช้ในกระบวนการสปัตเตอร์ริงทำได้ค่อนข้างยาก วิธีการหนึ่งที่นิยมคือการเร่งอนุภาคประจุภายในไส้สนามไฟฟ้า ซึ่งสามารถควบคุมระดับพลังงาน ไอออนตามต้องการ อิเล็กตรอนเป็นอนุภาคที่มีประจุนิดหนึ่งที่ผลิตได้ง่ายและสามารถเร่งให้มีพลังงานสูงภายในไส้สนามไฟฟ้าได้ เต่ออิเล็กตรอนมีมวลน้อยกว่าอะตอมของสารเคลือบมากทำให้การถ่ายเทพลังงานและโมเมนตัมต่ออะตอมสารเคลือบนั้นเป็นไปได้อย่างไม่มีประสิทธิภาพและไม่สามารถทำให้กระบวนการสปัตเตอร์ริงเกิดขึ้นได้ ตามทฤษฎีทางฟิสิกส์การชนกันระหว่าง 2 อนุภาคที่มีการส่งถ่ายพลังงานและโมเมนตัมเดียวกันจะเกิดขึ้นเมื่อมวลของอนุภาคทั้งสองมีค่าเท่ากันดังนั้นเราจึงเลือกการเร่ง ไอออนของก๊อกในไส้สนามไฟฟ้าเป็นอนุภาควิ่งชนเป้าสารเคลือบซึ่งให้อัตราการปลดปล่อยเป้าสารเคลือบสูงเพียงพอ กับความต้องการ

2.3 การผลิตอนุภาคพลังงานสูง อนุภาคพลังงานสูงในระบบสปีตเตอริงนี้จะต้องถูกผลิตขึ้นอย่างต่อเนื่อง เพื่อให้กระบวนการเคลือบสารเกิดขึ้นได้อย่างต่อเนื่องจนได้ความหนาพิเศษตามต้องการ ทั้งนี้สามารถทำได้หลายวิธี เช่นการใช้ลำอนุภาคจากปืนไอออนที่มีปริมาณการผลิตไออกอนในอัตราสูงหรือผลิตจากการวนการ โกลว์ดิสชาร์จ เนื่องจากปืนไออกอนมีราคาค่อนข้างสูงและให้ไออกอนในพื้นที่แคบ กระบวนการสปีตเตอริงทั่วไปในระดับอุตสาหกรรมจึงนิยมใช้กระบวนการ โกลว์ดิสชาร์จในการผลิตอนุภาคพลังงานสูง



ภาพที่ 2-6 ลักษณะของเครื่องเคลือบสุญญากาศด้วยวิธีสปีตเตอริง

3. ค่าอัลตร้าสปัตเตอร์ริ่ง (Sputtering Yield: S) คือ ค่าเฉลี่ยปริมาณการหลุดของอะตอม เป้าสารเคลื่อนต่อปริมาณการชนของไอออน 1 อนุภาค มีหน่วยเป็น อะตอมต่อไอออน โดยการวัดค่าอัลตร้าสปัตเตอร์ริ่ง สามารถทำได้โดยการหาน้ำหนักหรือความหนาที่ลดลงของเป้าสารเคลื่อน หรือหาได้จากวัสดุทั้งหมดที่ถูกสปัตเตอร์ หรืออาจหาได้จากการตรวจวัดสปัตเตอร์อะตอม (Sputter Atom) ขณะที่ยังฟังกระหาย (พิเชษฐ์ ลิมสุวรรณ และธนัสสา รัตนะ, 2547) ค่าอัลตร้าสปัตเตอร์ของกระบวนการสปัตเตอร์จะเปลี่ยนไปตามภาวะต่าง ๆ ดังนี้

3.1 เปลี่ยนแปลงตามพลังงานไอออน การชนของอนุภาค-2 อนุภาคในแนวเดียวกัน การถ่ายเทพลังงานระหว่างอนุภาคจะเป็นไปตามสมการที่ 2-1

$$\Delta E = \frac{4mM}{(m+M)^2} \quad (2-1)$$

เมื่อ ΔE ก็คือพลังงานที่ถ่ายเทระหว่างอนุภาค
 m ก็คือมวลอะตอมที่ถูกชน
 M ก็คือมวลของอะตอมที่ร่วงเข้าชน

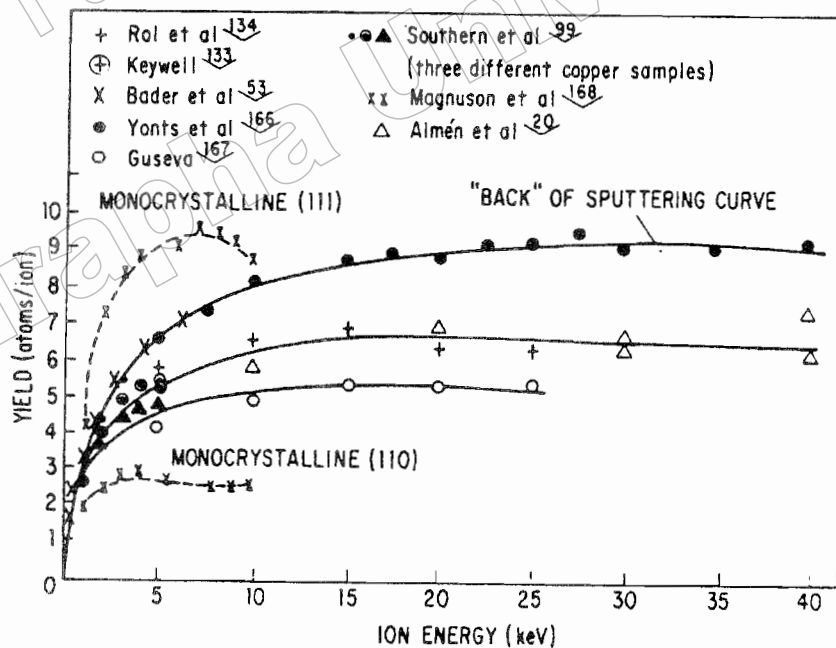
เมื่อพลังงานไอออนมีค่าต่ำมากค่าอัลตร้าสปัตเตอร์จะมีค่าเป็นศูนย์เนื่องจากไม่สามารถเอาชนะแรงยึดเกาะระหว่างอะตอมบนเป้าสารเคลื่อนได้ เมื่อไอออนมีพลังงานสูงขึ้นเกินกว่า $4H$ (H คือค่าพลังงานเฉลี่ยที่ใช้ในการระเหิด 1 อะตอม จากผิวสารเคลื่อน) ถ้าพลังงานไอออนสูงมากพอในการทำให้เกิดกระบวนการชนอย่างต่อเนื่องระหว่างอะตอมสารเคลื่อนและเริ่มนีกการปลดปล่อยอะตอมสารเคลื่อน เริ่กพลังงานค่านี้ว่า พลังงานขีดเริ่ม (Threshold Energies) ซึ่งเปลี่ยนแปลงไประหว่างคุณภาพชนของอนุภาค (ตารางที่ 2-1)

เมื่อไอออนชนมีพลังงานสูงขึ้นอีกด้วยเพิ่มขึ้นอย่างรวดเร็วแบบเอ็กซ์โพเนนเชียลในช่วงแรกและเปลี่ยนเป็นการเพิ่มแบบเชิงเส้นจากนั้นจึงมีการอิ่มตัว (Saturation) ของค่าอัลตร้าสปัตเตอร์ เมื่อพลังงานไอออนมีค่าสูงมาก ทั้งนี้เนื่องจากไอออนพลังงานสูงมีโอกาสในการฝังตัวบนผิวเป้าสารเคลื่อนสูงขึ้นทำให้ค่าอัลตร้าสปัตเตอร์ของสารเคลื่อนมีค่าคงที่ จากนั้นจะมีค่าลดลงเล็กน้อยเมื่อเพิ่มพลังงานไอออนให้สูงมากขึ้น ดังแสดงในภาพที่ 2-7

ตารางที่ 2-1 พลังงานขีดเริ่มของเป้าสารเคลือบชนิดต่าง ๆ (Maissel & Glang, 1970)

	Ne	Ar	Kr	Xe	Hg		Ne	Ar	Kr	Xe	Hg
Be	12	15	15	15	-	Mo	24	24	28	27	32
Al	13	13	15	18	18	Rh	25	24	25	25	-
Ti	22	20	17	18	25	Pd	20	20	20	15	20
C	21	23	25	28	25	Ag	12	15	15	17	-
Cr	22	22	18	20	23	Ta	25	26	30	30	30
Fe	22	20	25	23	25	W	35	33	30	30	30
Co	20	25	22	22	-	Re	35	35	25	30	35
Ni	23	21	25	20	-	Pt	27	25	22	22	25
Cu	17	17	16	15	20	Au	20	20	20	18	-
Ge	223	25	22	18	25	Th	20	24	25	25	-
Zr	23	22	18	25	30	U	20	23	25	22	27
Nb	27	25	26	32	-						

Boldface values are those for which the energy-transfer factor $4m_1m_2/(m_1+m_2)^2$ is 0.9 or higher



ภาพที่ 2-7 ยึดค์ของทองแดงที่ถูกชนด้วยไออุนจากเก็สอาร์กอนที่พลังงานต่าง ๆ

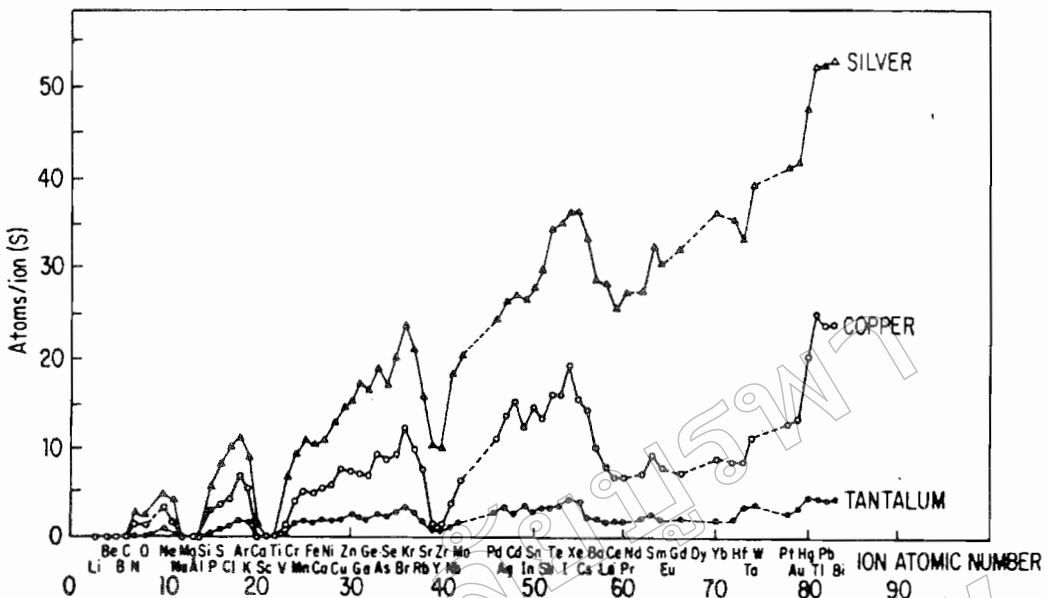
(Maissel & Glang, 1970)

3.2 เปลี่ยนแปลงตามระนาบผลึกของผิวเป้าสารเคลือบ จากการทดลองพบว่าเมื่อใช้ เป้าสารเคลือบที่เป็นผลึกเดียวค่ายล็อกจะมีค่ามากที่สุดเมื่อไอ่อนชนเป้าในแนวระนาบที่มีอะตอม หนาแน่นที่สุด และมีค่าต่ำในระนาบที่มีอะตอมเบาบาง ในทองแดงซึ่งมีโครงสร้างผลึกแบบ FCC (Face Centered Cubic) พบว่าการชนบนระนาบ (111) ซึ่งมีความหนาแน่นอะตอมสูงสุด ยล็อกจะมี ค่าสูงสุดเมื่อใช้ค่าพลังงานไอ่อนในการชนค่าเดียวกัน ส่วนระนาบที่มีความหนาแน่นอะตอมต่ำ ไอ่อนมีแนวโน้มวิ่งฟังค์วิ่งตัวในเป้าสารเคลือบมากขึ้น

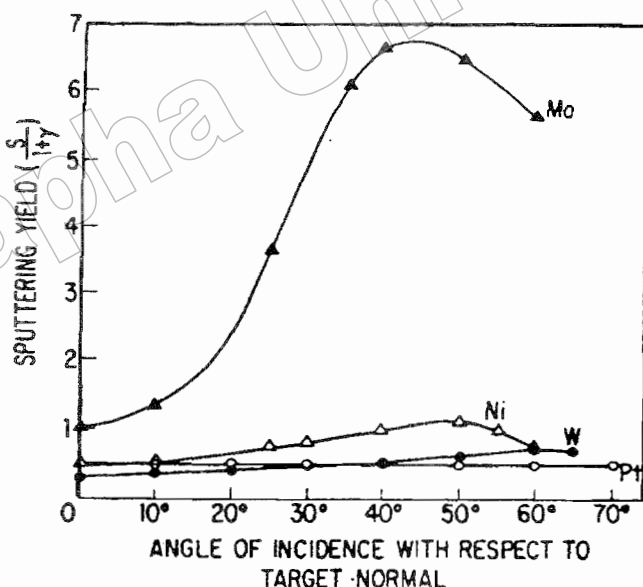
3.3 เปลี่ยนแปลงตามชนิดของไอ่อนที่ชนเป้าสารเคลือบ ค่ายล็อกจากเป้าสารเคลือบ ชนิดเดียวกัน เมื่อใช้ไอ่อนต่างชนิดกันวิ่งชนจะมีค่าแตกต่างกันออกไป เมื่อสมการที่ 1 แสดงให้เห็นว่าการถ่ายเทพลังงานระหว่าง 2 อนุภาคที่ชนกันจะมีค่าสูงสุดเมื่อมวลของอะตอมทั้งสองมีค่า เท่ากัน แต่อะตอมบนเป้าสารเคลือบยังคงรักษาความเร็วเดิมไม่ว่ามวลยังผลลัพธ์กว่า มวลของอะตอมเดียวกันจะพบร่วมกับค่าสูงขึ้นเมื่อใช้ไอ่อนที่มีมวลสูงกว่ามวลของอะตอมเป้าสาร เคลือบ ภาพที่ 2-8 แสดงการเปลี่ยนแปลงของค่ายล็อกพบว่ามีค่าสูงสุดเป็นช่วง ๆ ณ ตำแหน่งที่ใช้ ไอ่อนจากแก๊สเชือย คือเก๊ส Ne , Ar , Kr , และ Xe ซึ่งเป็นอะตومที่มีอิเล็กตรอนครบ 8 ในวงนอก สุด สาเหตุของการเกิดสูงสุดของค่ายล็อกเป็นช่วง ๆ นี้ยังไม่มีคำอธิบายที่ชัดเจน

3.4 เปลี่ยนแปลงตามมุมตกร่างกายของไอ่อนบนเป้าสารเคลือบ จากการทดลอง พบร่วมกับเพิ่มนูนเอียงของการชนจากไอ่อนบนเป้ามากขึ้นยล็อกจะมีค่าสูงขึ้นตามมุมที่เอียง เนื่องจากอะตอมสารเคลือบที่หลุดออกจากเปลี่ยนจาก การกระเจิงกลับ (Back Scattering) เป็น การกระเจิงไปข้างหน้า (Forward Scattering) ซึ่งเป็นกระบวนการที่ต้องการจำนวนครั้งของการชน ระหว่างอะตอมน้อยกว่าที่ให้ยล็อกสูงขึ้นจนถึงจุดหนึ่งซึ่งมีค่าสูงสุดที่องศาการเอียงมากกว่า 45° จากนั้นยล็อกจะมีค่าลดลงเมื่อมุมสูงขึ้น และเป็นศูนย์เมื่อมุมเอียงมีค่า 90° โดยขณะนั้นพื้นที่การชน เมื่อมองจากไอ่อนมีค่าเป็นศูนย์ ภาพที่ 2-9

4. ความเร็วและพลังงานของอะตอมที่ถูกสปีดเตอร์หลุดออกจากผิวหน้าเป้าสารเคลือบ ด้วยวิธีการสปีดเตอร์มีพลังงานจลน์ค่อนข้างสูงและมากกว่าพลังงานของอะตอมที่หลุดออกด้วย วิธีการระเหยสารประมาณ $50 - 100$ เท่า อะตอมมีการกระจายพลังงานแบบ Maxwellian โดยที่ พลังงานส่วนใหญ่มีค่าต่ำกว่า 10 eV และอีกส่วนหนึ่งมีพลังงานระหว่าง $10 - 40 \text{ eV}$ ถ้าไอ่อนที่ใช้มีพลังงานสูงขึ้น พลังงานเฉลี่ยของอะตอมจากสปีดเตอร์จะมีค่าสูงขึ้นจนเมื่อไอ่อนที่วิ่งชนมี พลังงานเกิน 1 keV พลังงานเฉลี่ยของอะตอมจากการสปีดเตอร์จะไม่เพิ่มขึ้นและเป้าที่มีค่ายล็อกสูงมี แนวโน้มทำให้พลังงานเฉลี่ยของอะตอมที่หลุดออกมากจำนวนมาก อะตอมแต่ละตัวจะรับพลังงานเฉลี่ยจากไอ่อน ได้น้อยลง



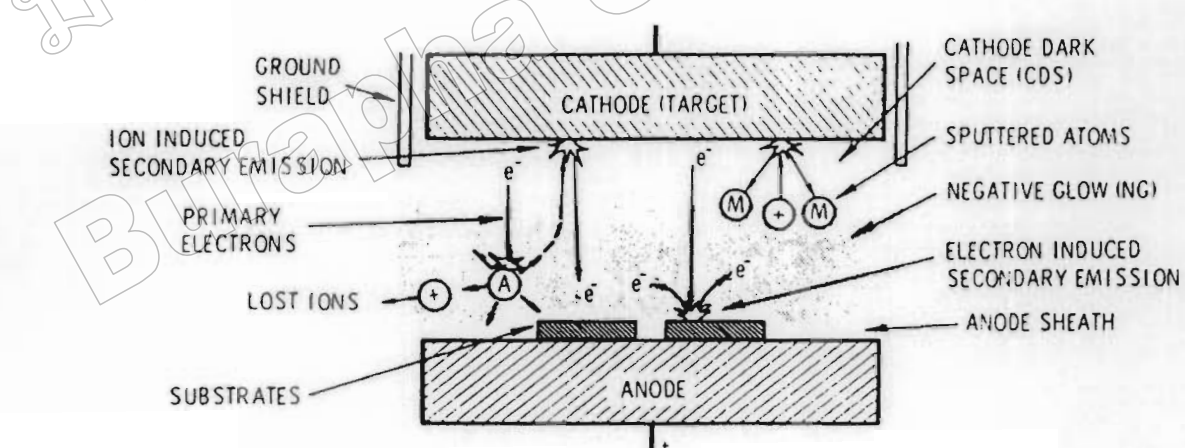
ภาพที่ 2-8 การเปลี่ยนแปลงค่าyieldของเป้าท่องด้วย (Cu) , เงิน (Ag) และเทนทากลั่น (Ta) เมื่อใช้ ไอโอนพลังงาน 45 keV จากธาตุที่มีเลขอะตอมค่าต่าง ๆ (Maissel & Glang, 1970)



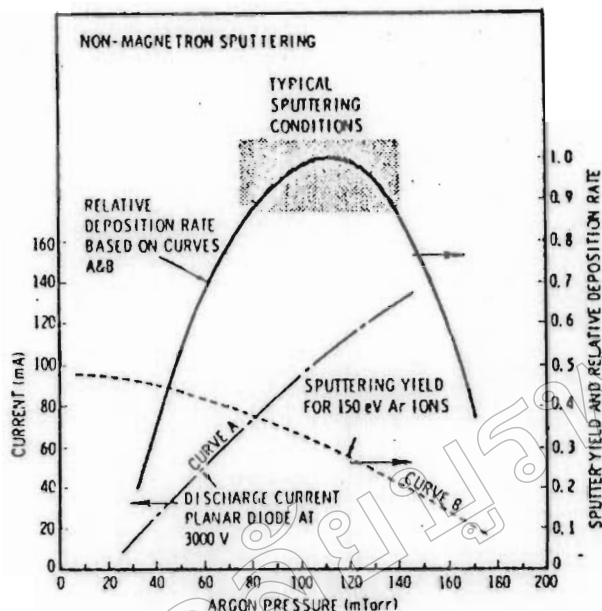
ภาพที่ 2-9 การเปลี่ยนแปลงของyieldเมื่อใช้ไอโอนของ protonพลังงาน 200 eV ชนเป้านิกเกิล (Ni), โมลิบดินัม (Mo) , ทังสेन (W) และทองคำขาว (Pt) ที่มุ่งการตกรอบค่าต่าง ๆ (วัดเทียบกับแนวชนตั้งจากบนเป้า) (Maissel & Glang, 1970)

ระบบเคลือบแบบดีซีสปิตเตอริง

ภาพที่ 2-10 แสดงระบบเคลือบแบบดีซีสปิตเตอริง อย่างง่ายที่สุด (พิเชยฐ์ ลิมสุวรรณ และชนัสสถา รัตนะ, 2547; Bunshah, 1982; Smith, 1995) ซึ่งประกอบด้วยคากาโทด คือ แผ่นเป้าสารเคลือบและอาโนด คือ ที่วางวัสดุรองรับหรือชิ้นงานที่ต้องการเคลือบ ปกติระยะระหว่างคากาโทดและวัสดุรองรับจะอยู่ระหว่าง 4 - 10 cm เพื่อป้องกันการสูญเสียอะตอมสารเคลือบที่ผ่านของกากาโทดและสูญญากาศ โดยทั่วไประยะดาร์คสเปช อยู่ระหว่าง 1 - 4 cm โดยอาโนดจะอยู่บริเวณแกหีฟโกล์ว ส่วนอุปกรณ์ทำงานจะอยู่ในช่วงขอบนอร์มอลไอกลัวดิสชาร์จ แก๊สที่ใช้มีนิเก็ตเกลี่ยชั่งให้ผลลัพธ์สูง และไม่ทำปฏิกิริยากับสารเคลือบ (ปกติใช้แก๊สอาร์กอน) ขณะเกิดไอกลัวดิสชาร์จที่ความดันค่าหนึ่ง กระบวนการไอออนไอนเชชันจะรักษาสภาพโกล์วดิสชาร์จไว้ runway หรือระยะดาร์คสเปชไม่มากกว่า ระยะระหว่างคากาโทดและอาโนด เมื่อความดันลดลงหรือแรงดันไฟฟ้าระหว่างอิเล็กโทรดสูงขึ้น ระยะปลดการชนของอิเล็กตรอนจะสูงขึ้น ทำให้ระยะดาร์คสเปชขยายตัวออกและแหล่งผลิตไอออนในระบบมีปริมาตรน้อยลงและลดลงและอะตอมที่ถูกสปิตเตอร์มีปริมาณลดลงตามปริมาณของไอออนและกระแสไฟฟ้าในระบบ ที่ความดันต่ำกว่า 10^{-2} mbar ระยะดาร์คสเปชจะยาวกว่าระยะระหว่างอิเล็กโทรด และกระแสไฟฟ้าลดลงสู่ศูนย์ ทำให้กระบวนการผลิตไอออนสิ้นสุดลง และไม่มีอะตอมหลุดออกจากเป้าสารเคลือบเนื่องจากภารสปิตเตอร์อิก



ภาพที่ 2-10 ระบบเคลือบแบบ ดีซี สปิตเตอริง (Bunshah, 1994)



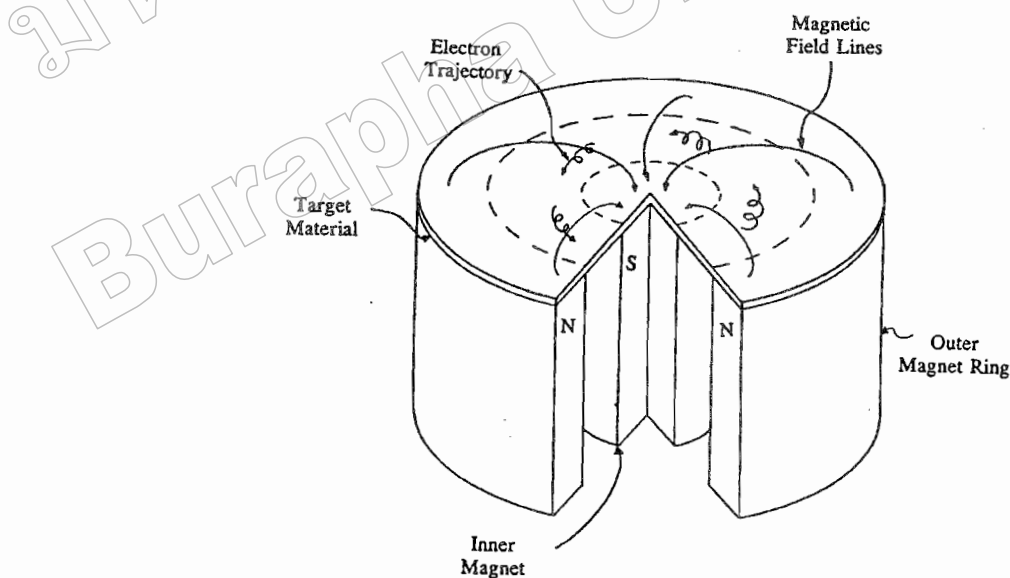
ภาพที่ 2-11 ผลของความดันในระบบที่มีผลต่ออัตราเคลื่อน ค่าyield และกระแสไฟฟ้าในระบบสปัตเตอริงของนิกิลที่ใช้แรงดันไฟฟ้า 3,000 V ระหว่างขั้วอิเล็กโตรดที่ห่างกัน 4.5 cm (Vossen & Kerns, 1978)

ขณะที่ความดันสูงขึ้นจะมีการเปลี่ยนแปลงของสัดส่วนของรัฐการผลิต ไอออนมีปริมาณสูงขึ้นกระแสไฟฟ้าที่ไหลในวงจรเพิ่มขึ้นและกระบวนการสปัตเตอริงเกิดขึ้นในอัตราสูงตามความดัน ดังภาพที่ 2-11 เน้นกราฟ A ขณะที่ความดันภายในระบบสูงขึ้นจะมีผลต่อการห่างระหว่างได้แก่ ผลกระทบของแก๊สมีค่าลดลง อะตอมสารเคลื่อนที่หลุดออกจากเป้าจะส่งผ่านเคลื่อนบนวัสดุรองรับได้ยากจากการชนกับไม้เดกูลของแก๊สและจะห้อนกลับสู่เป้าสารเคลื่อนหรือสูญเสียสูญเสียพื้นที่ของวัสดุ ทำให้ค่าของyield จากการสปัตเตอร์มีค่าลดลง แต่มีความดันสูงขึ้น ดังภาพที่ 2-11 เน้นกราฟ B ผลกระทบระหว่างyield และกระแสไฟฟ้าจะทำให้ขั้ตตราการเคลื่อนมีค่าสูงสุดที่ความดันค่าหนึ่งทั้งนี้พบว่าการสปัตเตอร์นิกิลเมื่อใช้แรงดันไฟฟ้า 3,000 V ระหว่างขั้วอิเล็กโตรดที่ห่างกัน 4.5 cm ในแก๊สอาร์กอน การเคลื่อนจะหยุดที่ความดันมีค่าต่ำกว่า 2.6×10^{-4} mbar และที่ความดันสูงกว่า 1.6×10^{-5} mbar โดยอัตราเคลื่อนจะมีค่าสูงสุดและลดลงเมื่อความดันสูงเกินค่านี้ ดังนั้นบริเวณที่เหมาะสมกับกระบวนการสปัตเตอริงคือบริเวณที่ให้อัตราเคลื่อนสูงและประสิทธิภาพดีที่สุด จากภาพที่ 2-4 พบว่าความดันที่เหมาะสมสำหรับการเคลื่อนคือ 1.0×10^{-5} mbar ความหนาแน่นกระแสประมาณ 1.0 mA/cm^2 ด้วยอัตราเคลื่อน $0.036 \mu\text{m/min}$ ซึ่งเป็นอัตราเคลื่อนที่ค่อนข้างต่ำในขณะที่ใช้แรงดันไฟฟ้าค่อนข้างสูง (พิเชษฐ์ ลิ่มสุวรรณ และธนสตา รัตนะ, 2547)

ระบบเคลื่อนแบบดีซีแมกนีตرونสปัตเตอริง

อัตราการเกิดสปัตเตอริงนั้นขึ้นกับผลคูณระหว่างยีลด์และปริมาณไอออนที่วิ่งเข้ามาในเส้นทางเคลื่อน ดังนั้นการเพิ่มอัตราการสปัตเตอร์นจากจะทำได้โดยการเพิ่มยีลด์แล้วยังทำได้โดยการเพิ่มปริมาณไอออนที่วิ่งเข้ามาในเส้นทางเคลื่อน ซึ่งในระบบดีซีสปัตเตอริงปกติ ทำได้เพียงการเพิ่มแรงดันไฟฟ้าระหว่างอิเล็กโทรด หรือเพิ่มความดันซึ่งจะมีข้อจำกัดสูงสุดที่ ความหนาแน่นกระแสประมาณ 1 mA/cm^2 และความดันประมาณ $1.33 \times 10^{-5} \text{ mbar}$ นอกจากนี้ยังพบว่าในระบบดีซี สปัตเตอริง หัวไโปะต้องของแก๊สที่เกิดการไอออกไซน์มีค่าน้อยกว่า 1% เมื่อความดันสูงขึ้น ปริมาณแก๊สที่แทรกตัวในฟิล์มน้ำที่ได้มีค่าสูงด้วย (พิเชษฐ์ ลิ่มสุวรรณ และธนัสดา รัตนะ, 2547)

ต่อมาเมื่อการพัฒนาระบบที่ใหม่เรียกว่า ระบบดีซีแมกนีตرونสปัตเตอริง (พิเชษฐ์ ลิ่มสุวรรณ และธนัสดา รัตนะ, 2547; Bunshan, 1994; Smith, 1995) ซึ่งเป็นการใช้สนามแม่เหล็กช่วย โดยจ่ายสนามแม่เหล็กให้มีศักยานกับผิวน้ำเข้ามาในเส้นทางเคลื่อนและมีศักยานกับสนามไฟฟ้าซึ่งช่วยเพิ่มระยะทางเดินของอิเล็กตรอนให้ยาวขึ้น โดยอำนาจของสนามแม่เหล็กจะทำให้อิเล็กตรอนเคลื่อนที่เป็นทางโค้ง (ภาพที่ 2-12) ทำให้การไอออกไซน์เนื่องจากการชนระหว่างอิเล็กตรอนกับอะตอมแก๊สเนื่องมีค่าสูงขึ้นซึ่งทำให้อัตราการสปัตเตอร์สูงขึ้นด้วย



ภาพที่ 2-12 การเคลื่อนที่ของอนุภาคอิเล็กตรอนในสนามแม่เหล็ก (Rickerby & Matthews, 1991)

ทั้งนี้จากการศึกษาการเคลื่อนที่ของอิเล็กตรอนในสนามแม่เหล็กพบว่าถ้าอิเล็กตรอนมีทิศทางการเคลื่อนที่ตั้งฉากกับสนามแม่เหล็ก อิทธิพลของสนามแม่เหล็กทำให้ออนุภาคประจุนั้นเคลื่อนที่ในแนววงกลม (ภาพที่ 2-13 (a)) ด้วยรัศมี

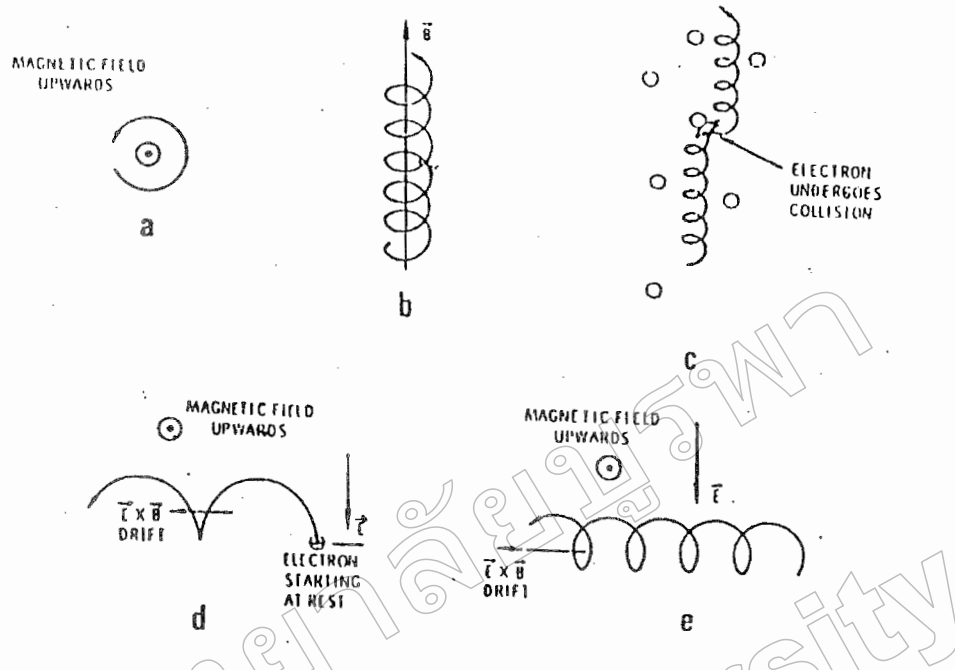
$$r = \frac{3.37 \sqrt{W}}{B} \quad (2-2)$$

เมื่อ W คือพลังงานของอิเล็กตรอนในหน่วย eV
 B คือความเข้มสนามแม่เหล็กในหน่วย gauss หมุนด้วยความถี่ v โคลต์/วินาที
 $v = 2.8 \times 10^6 \text{ Hz}$

ถ้าพลังงานเฉลี่ยของอิเล็กตรอนในแนวตั้งฉากกับสนามแม่เหล็กมีค่า 10 eV และสนามแม่เหล็กมีค่าความเข้ม 100 gauss รัศมีการหมุนมีค่าเท่ากับ 0.1 cm ด้วยความถี่การหมุนเท่ากับ $2.8 \times 10^8 \text{ Hz}$ ภาพที่ 2-13 (b) แสดงอิเล็กตรอนมีความเร็วส่วนหนึ่งในแนวขวางกับสนามแม่เหล็ก อิเล็กตรอนจะเคลื่อนที่หมุนคลื่นรอบแนวสนามแม่เหล็กด้วยจำนวนเส้นแรงคงที่ค่าหนึ่งระหว่างนี้ถ้าอิเล็กตรอนชนกับอะตอมแก๊ส ภาพที่ 2-13 (c) แนวการหมุนคลื่นรอบสนามแม่เหล็กเปลี่ยนไปถ้าอิเล็กตรอนเคลื่อนที่ภายในสนามแม่เหล็กและสนามไฟฟ้าซึ่งมีทิศทางตั้งฉากกัน จำนวนของสนามทั้งสองนอกจากจะทำให้อิเล็กตรอนเคลื่อนที่ในแนวโถ้งแล้วยังสามารถทำให้เกิดการเคลื่อนที่ในแนวตั้งฉากกับสนามแม่เหล็กและสนามไฟฟ้าเรียกว่าการเคลื่อนที่แบบลอยเลื่อน (Drift motion) มีค่าเท่ากับ

$$V_E = \frac{10^8 E}{B} \quad (2-3)$$

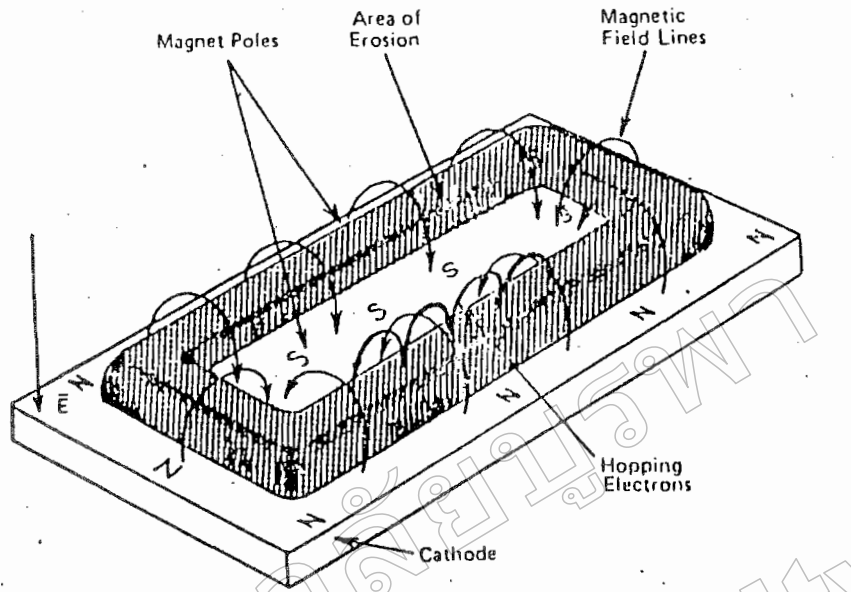
เมื่อ E คือสนามไฟฟ้าหน่วยเป็น V/cm
 B คือความเข้มสนามแม่เหล็กในหน่วย gauss



ภาพที่ 2-13 การเคลื่อนที่ของอนุภาคในสนามต่าง ๆ โดยที่ a, b, c เป็นการเคลื่อนที่ของอนุภาคประจุในสนามแม่เหล็กอ่อน弱เดียวส่วน d และ e เป็นการเคลื่อนที่ของอนุภาคประจุในสนามแม่เหล็กและสนามไฟฟ้าร่วมกันในลักษณะต่าง ๆ (Bunshah, 1994)

กรณีสนามไฟฟ้านิรเวณดาร์คสเปซมีค่าประมาณ $1,000 \text{ V/cm}$ และสนามแม่เหล็กมีค่าประมาณ 100 gauss จะให้ค่าความเร็วอยเดือน (Drift Velocity) เท่ากับ 107 m/s ซึ่งเป็นค่าที่ค่อนข้างสูงกรณีพลังงานเริ่มต้นของอิเล็กตรอนมีค่าน้อยเมื่อเทียบกับพลังงานที่ได้รับจากสนามไฟฟ้า การเคลื่อนที่ของอิเล็กตรอนเป็นรูป Cycloid ดังภาพที่ 2-13 (d) ถ้าอิเล็กตรอนมีพลังงานเริ่มต้นสูงกว่าพลังงานที่ได้รับจากสนามไฟฟ้า การเคลื่อนที่แบบลอยเดือน จะอยู่ในแนววงกลมซึ่งนักดังแสดงในภาพที่ 2-13 (e) พฤติกรรมที่ปรากฏต่ออิเล็กตรอนนี้จะเด่นชัดมากถึงแม้จะใช้สนามแม่เหล็กมีค่าน้อย ๆ ระหว่าง $50 - 500 \text{ gauss}$ แต่มีผลในการเบี่ยงเบนแนวทางเดินของไอออน (ซึ่งมีมวลสูงกว่าอิเล็กตรอนมาก) อ่อน 弱 ไม่เด่นชัด

ระบบสปัตเตอริ่งที่ใช้สนามแม่เหล็กช่วยเพิ่มปริมาณไออ่อนนั้น ถ้าสนามแม่เหล็กมีทิศทางบนกับสนามไฟฟ้าจะเรียกว่า สนามตามยาว (Longitudinal Field) จะทำให้ประสิทธิภาพการเพิ่มไออ่อนไม่สูงนักแต่ไม่ทำให้แนวการเกิดโกล์วิดิสชาร์จเปลี่ยนแปลงไปและยังสามารถรักษาความสม่ำเสมอของฟิล์มบางไว้ได้ กรณีของสนามแม่เหล็กตั้งฉากกับสนามไฟฟ้าเรียกว่า สนามตามขวาง (Transverse Field) โดยกระบวนการเพิ่มปริมาณไออ่อนเกิดขึ้นดังนี้ หลังจากที่ไออ่อนบวกซึ่งกับเป้าสารเคลื่อนและเกิดการปลดปล่อยอิเล็กตรอนชุดที่สองออกมามีอิเล็กตรอนชุดที่สองจะเคลื่อนที่ในลักษณะเดียวกับภาพที่ 2-13 (d) ทำให้อิเล็กตรอนถูกกักอยู่ในบริเวณสนามแม่เหล็กใกล้ค้าโทด และเคลื่อนที่แบบลوبเลื่อน ตามแนวผิวน้ำเป้าสารเคลื่อนมากขึ้นจนเพิ่มปริมาณไออ่อนสูงมากใกล้ผิวน้ำเป้าสารเคลื่อน อิเล็กตรอนตัวใดที่ไม่ชนโนเดกูลของแก๊สจะเดินทางเป็นวงโดยเข้าชนเป้าสารเคลื่อนและผลิตอิเล็กตรอนชุดที่สองมากขึ้นเป็นผลทำให้ไออ่อนถูกผลิตในปริมาณสูงมากและเกิดใกล้ผิวน้ำเป้าสารเคลื่อนตัวใดที่ไม่ชนโนเดกูลของแก๊สจะเดินทางเป็นวงสั้นกว่าระยะปลดปล่อยการชน ในดีซีสปัตเตอริ่งที่ความดันใช้งานมากแรงเคลื่อนไฟฟ้าเกือบทั้งหมดจะตกคร่อมบริเวณนี้และมีค่าสนามไฟฟ้าสูงกว่าบริเวณด้าร์คสเปชในดีซีสปัตเตอริ่ง ขณะไม่มีสนามแม่เหล็กมากทำให้ความต้องการแรงดันไฟฟ้าระหว่างขั้วอิเล็กโทรดของระบบแมกนีตرونสปัตเตอริ่งลดลงทั่วไปมีค่าประมาณ 300 - 800 V ถ้าใช้สนามแม่เหล็กกับแมกนีตرونทั้งระบบจะเรียกว่า แมกนีตرونสปัตเตอริ่งทรังค์ร็อบบ์ (Cylindrical Magetron Sputtering) และถ้าใช้สนามแม่เหล็กกับระบบดีซีสปัตเตอริ่งที่ใช้เป็นแบบแผ่นราบจะเรียกว่า พลานาร์แมกนีตرونสปัตเตอริ่ง (Planar Magnetron Sputtering)



ภาพที่ 2-14 การจัดสถานะแม่เหล็กและแนวการกัดกร่อนของเป้าสารเคลือบในระบบพลาสต์ร์
แมกนีตرونสปัตเตอริง (Chapman, 1980)

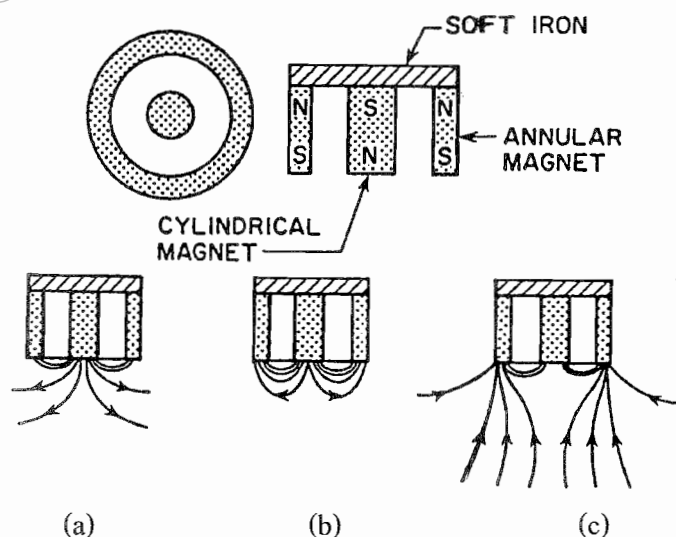
ประสิทธิภาพการเพิ่มไออ่อนที่สูงมากในระบบแมกนีตرونและพลาสม่าที่เกิดขึ้นจะเข้มมากบริเวณเป้าสารเคลือบทาให้อัตราการสปัตเตอร์ของระบบนี้มีค่าสูง ขณะที่ความดันในระบบมีค่าต่ำแรงดันไฟฟ้าระหว่างอิเล็กโทรดมีค่าเกือบคงที่ที่ทุกค่าของอัตราการสปัตเตอร์ แมกนีตرونสปัตเตอริง ทรงกระบอกหัวไปมีอัตราการสปัตเตอร์สูงกว่า $1.0 \mu\text{m}/\text{min}$ และมีอัตราเคลือบสูงกว่า $0.2 \mu\text{m}/\text{min}$ ความหนาแน่นกระแสที่ผิวคาด ประมาณ $20.0 \text{ mA}/\text{cm}^2$ แรงดันไฟฟ้าระหว่างอิเล็กโทรดมีค่าระหว่าง $300 - 800 \text{ V}$ ที่ความดันประมาณ $5.33 \times 10^{-5} \text{ mbar}$ ประสิทธิภาพการเคลือบสูงขึ้นกว่า 10 เท่าตัว นอกจากนี้ยังสามารถขยายน้ำยาสเกลใช้กับระบบสปัตเตอริงขนาดใหญ่ได้ง่ายเมื่อออกแบบใช้งานร่วมกับไตรโอดสปัตเตอริง ระบบสามารถเคลือบได้ที่ความดันต่ำถึง 10^{-5} mbar

ระบบเคลือบแบบอันบาลานซ์แมgnีตรอนสปัตเตอริ่ง

ในการเคลือบฟิล์มพบว่าถ้าระดมยิงไอดอนระหว่างการเกิดฟิล์มจะเป็นการเปลี่ยนแปลงฟิล์มหลายอย่าง เช่น พฤติกรรมการเกิดนิวเคลียร์ (Nucleation Behaviour) สัมฐานวิทยา (Morphology) องค์ประกอบ (Composition) ทิศทางการจัดเรียงตัว และสมบัติเชิงกล เป็นต้น ในกรณีแมgnีตรอนสปัตเตอริ่ง ไอดอนที่ใช้ในการระดมยิงวัสดุรองรับจะมาจากประจุไฟฟ้าที่อยู่รอบวัสดุรองรับ ซึ่งทำได้โดยการจ่ายศักย์ลงประมาณ 1 - 500 V ให้กับวัสดุรองรับ อย่างไรก็ได้ ความหนาแน่นของกระแสที่ฟิล์มหรือผิวน้ำของวัสดุรองรับ สำหรับระบบบัดดี้แมgnีตรอน ปกติจะมีค่าต่ำประมาณ 0.05 - 0.10 ไอดอน/ อะตอมสารเคลือบ แต่การใช้งานจริงต้องมีค่าสูงกว่านี้ (Rohde & Munz, 1991)

สำหรับการเคลือบแข็ง (Hard coating) ฟิล์มนางที่ต้องการนั้นจะต้องมีช่องว่าง (Voids) ในเนื้อฟิล์มน้อยที่สุด ซึ่งจะทำให้ฟิล์มนางที่ได้นั้นมีความทนต่อการกัดกร่อน (Corrosion) และทนต่อการขัดถี (Wear Resistance) มากยิ่งขึ้น โดยการลดช่องว่างในเนื้อฟิล์มนี้สามารถทำได้โดยการเพิ่มความต่างศักย์ในแอสติกให้กับวัสดุรองรับ แต่ก็จะทำให้เกิดความเสื่อมและความบกพร่อง (Defects) ภายในเกรน (Grain) ของฟิล์มมากขึ้นเมื่อความต่างศักย์ในแอสเพิ่มขึ้นด้วย ซึ่งจะทำให้คุณภาพของฟิล์มและการยึดติดของฟิล์มกับวัสดุรองรับลดลง ปัญหานี้สามารถแก้ได้โดยการเพิ่มความหนาแน่นของกระแสไอดอน (อัตราส่วนของไอดอน/ อะตอมสารเคลือบ) ซึ่งสามารถทำได้โดยใช้ระบบเคลือบแบบอันบาลานซ์แมgnีตรอนสปัตเตอริ่ง (Unbalanced Magnetron Sputtering)

(Rohde & Munz, 1991; Sproul, 1992)



ภาพที่ 2-15 ลักษณะเส้นแรงแม่เหล็กของระบบอันบาลานซ์แมgnีตรอนสปัตเตอริ่ง

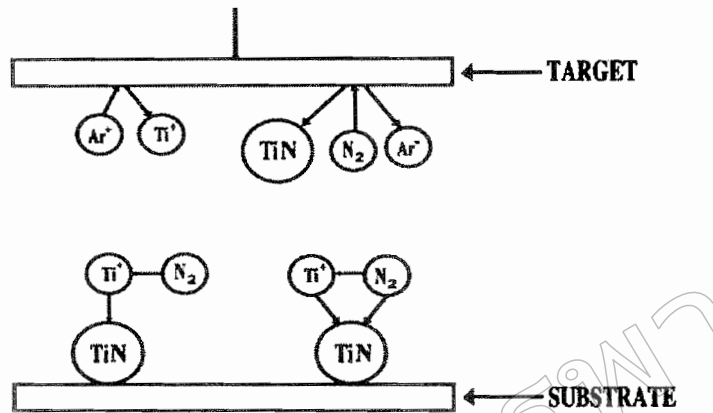
(Rickerby & Matthews, 1991)

ระบบอันบาลานซ์แมกนีตرونสปัตเตอริง ได้รับการคิดค้นและตีพิมพ์เผยแพร่โดย Window และ Savvides ครั้งแรกในปี ค.ศ.1986 โดยทั้งสองพบว่าการติดตั้งแม่เหล็กที่ค่าโถดของระบบสปัตเตอริงปกตินั้น ถ้าหากทำให้ความเข้มของสนามแม่เหล็กด้านใดด้านหนึ่งมากหรือน้อย กว่าอีกด้านหนึ่งแล้วสนามแม่เหล็กที่ค่าโถดจะมีลักษณะไม่สมมาตร ทำให้ปริมาณไอออกอนที่ว่างเข้า ชนหรือระดมยิงวัสดุรองรับนั้นมีปริมาณเพิ่มขึ้นมากกว่าปกติ ซึ่งจะมีผลต่อคุณภาพของฟิล์ม โดยตรงการจัดแม่เหล็กของระบบนี้อาจแบ่งเป็น 3 แบบ คือความเข้มสนามของแม่เหล็กที่ด้านในมากกว่าด้านนอก (ภาพที่ 2-15 (a)) หรือกลับกัน (ภาพที่ 2-15 (c)) หรือใกล้เคียงกัน (ภาพที่ 2-15 (b))

ถ้าจัดแม่เหล็กตามภาพที่ 2-15 (a) ไอออกอนที่ระดมยิงวัสดุรองรับจะมีค่าต่ำ (อัตราส่วนไอออกอน/ อะตอมสารเคลือบประมาณ $0.25 : 1$) ต่ำกว่าการจัดแม่เหล็กตามภาพที่ 2-15 (c) ไอออกอนที่ระดมยิงวัสดุรองรับจะมีค่าเพิ่มมากขึ้นทำให้อัตราส่วนไอออกอน/ อะตอมสารเคลือบมีค่าสูงขึ้นคือประมาณ $2 : 1$ (เมื่อใช้ความต่างศักย์ไฟแอดส์) ปัจจุบันมีนักวิจัยหลายกลุ่มที่นำแนวคิดนี้ไปประยุกต์ใช้อย่างแพร่หลาย ซึ่งมีทั้งที่ใช้แม่เหล็กแบบถาวรและแม่เหล็กไฟฟ้าจากการศึกษาของ Musil และ Kadlec ที่ระบบเคลือบใช้อันบาลานซ์พลาสมาแมกนีตرونเดียวและคลัวดแม่เหล็กไฟฟ้า 2 ชุดเคลือบไทเทเนียมในไตรค์ที่ระยะเป้าสารเคลือบและวัสดุรองรับประมาณ 200.0 mm โดยใช้ความต่างศักย์ไฟแอดส์ในช่วง $-5 \text{ ถึง } -100 \text{ V}$ พบร่วมกับสามารถทำให้ได้ความหนาแน่นกระแสสูงถึง 6.0 mA/cm^2 ซึ่งสูงมากพอสำหรับใช้ในงานอุตสาหกรรม (Munz, 1991)

การเคลือบฟิล์มนางด้วยวิธีรีแอคตีฟสปัตเตอริง

สำหรับกระบวนการการรีแอคตีฟสปัตเตอริง (Reactive Sputtering) มติ ห่อประทุม (2548) ได้อธิบายไว้ว่า เป็นกระบวนการสปัตเตอริงที่มีการป้อนแก๊สไวป์ปฏิกิริยา (Reactive Gas) เข้าสู่ระบบ เพื่อให้เกิดสารประกอบของฟิล์มตกลงเคลือบบนชิ้นงานหรือวัสดุรองรับ การสปัตเตอร์ที่มีเป้าสารเคลือบเป็นโลหะบริสุทธิ์ โดยการป้อนแก๊สไวป์ปฏิกิริยา จะทำให้เกิดสารประกอบต่าง ๆ ของโลหะได้ เช่น การป้อนแก๊สไนโตรเจนอาจทำให้เกิดโลหะในไตรค์ ถ้าป้อนแก๊สอะเซทิลีน (C_2H_2) หรือ มีเทน (CH_4) อาจเกิดเป็นสารประกอบของโลหะคาร์บไบด์ เป็นต้น โดยปกติความดันแก๊สไวป์ปฏิกิริยาที่ใช้ค่อนข้างต่ำจนไม่เพียงพอต่อการเกิดปฏิกิริยาในสภาวะปกติ อย่างไรก็ตามคาดกันว่า อิเล็กตรอนในพลาสม่าที่มีส่วนในการกระตุนหรือไอออกอนซ์แก๊สไวป์ปฏิกิริยาให้มีความสามารถในการทำปฏิกิริยากับโลหะได้สูงกว่าสภาวะปกติ โดยแก๊สไวป์ปฏิกิริยา เช่น แก๊สไนโตรเจน (N_2) อาจรวมตัวกันกับโลหะ เช่น ไทเทเนียม (Ti) และเกิดเป็นสารประกอบไทเทเนียมในไตรค์ (TiN) ตามภาพที่ 2-16 ได้เป็น 3 ลักษณะ ดังนี้



ภาพที่ 2-16 การเกิดปฏิกิริยารวมตัวกันเป็นสารประกอบระหว่างแก๊สไวปฏิกิริยา กับอะตอม เป้าสารเคลือบในบริเวณต่างๆ (มติ ห้องประทุม, 2548)

1. แก๊สไวปฏิกิริยา เช่น แก๊สไนโตรเจน ทำปฏิกิริยา กับอะตอม ไทเทเนียมที่ผิวน้ำเข้าของสารเคลือบคายเป็นสารประกอบ ไทเทเนียม ใน ไตรดีแล้วถูกสปีดเตอร์ให้หลุดออกแล้วตกเคลือบลงบนแผ่นวัสดุรองรับ ปฏิกิริยา ส่วนนี้เกิดขึ้น 強く มีความดันย่อยของแก๊สไวปฏิกิริยา ในระบบ มีค่าสูง พบร่วมกับ การเคลือบ ไทเทเนียม ใน ไตรดีบนฟิล์มเคลือบที่ เป้าสารเคลือบ ส่วนที่มีอัตราการสปีดเตอร์ ต่ำ จะ ปราศภิล์มของสี กอง ไทเทเนียม บริเวณนั้น ปราศภิล์มนี้เรียกว่า Target Poisoning มีผลทำให้อัตราการเคลือบลดลง

2. แก๊สไวปฏิกิริยา เช่น แก๊สไนโตรเจน รวมตัวกับอะตอม ไทเทเนียมที่ถูกสปีดเตอร์ ในระหว่างทางวิ่งสู่แผ่นวัสดุรองรับ แล้วตกเคลือบบน แผ่นวัสดุรองรับ กระบวนการนี้ในทางทฤษฎี คือว่า ก็คิดได้น้อยมาก เนื่องจาก สภาวะของการทำปฏิกิริยา ไม่เหมาะสม ตามกฎอนุรักษ์ พลังงาน และ โน้มเนน แต่เป็นไปได้ที่ การรวมตัวของสารประกอบจะเกิดในช่วงนี้

3. แก๊สไวปฏิกิริยา เช่น แก๊สไนโตรเจน รวมตัวกับ ไทเทเนียม บน ผิวน้ำสุดรองรับ หรือ ชิ้นงาน การทำรีแอคตีฟสปีดเตอร์ โดยทั่วไป ความดัน แก๊สไวปฏิกิริยา ที่เหมาะสม ต่อการเกิดสารประกอบ ที่ต้องการ มีค่า ต่ำกว่า ช่วงที่เกิดการ โกลว์ดิษาร์จ ในกระบวนการ จึงใช้ แก๊สไวปฏิกิริยา กับ แก๊ส เชื่อม ทำให้รักษา สภาวะ โกลว์ดิษาร์จ ไว้ได้ ในเวลาเดียวกัน ช่วยให้อัตราเคลือบสูงขึ้น ในการ ทำรีแอคตีฟสปีดเตอร์ ยังมีสิ่งที่ต้องคำนึงถึง คือ ความดัน ย่อยของ แก๊สไวปฏิกิริยา ต้อง มีค่า พอดี เหมาะสม กับ การเกิดฟิล์มสารประกอบ ที่ต้องการ เช่น การเคลือบสารประกอบ Ferroferric Oxide (Fe_3O_4) ความดัน แก๊สออกซิเจน ที่ใช้ในรีแอคตีฟสปีดเตอร์ ถูกจำกัด ในช่วง ความดัน แคบมาก ถ้า ความดัน ย่อยของ แก๊สออกซิเจน มาก ไป จะ เกิดสารประกอบของ Ferric Oxide (Fe_2O_3) ถ้าน้อย เกินไป จะ ไม่เกิดสารประกอบ Ferrous Oxide (FeO) หรือ ฟิล์มของเหล็ก (Fe)

การหาลักษณะเฉพาะของฟิล์มบาง

ลักษณะเฉพาะหรือสมบัติต่าง ๆ ของฟิล์มบางสามารถวิเคราะห์ได้จากเทคนิคต่าง ๆ งานวิจัยนี้ศึกษาลักษณะเฉพาะของฟิล์มบาง ได้แก่ โครงสร้างผลึก เฟส ลักษณะพื้นผิว และความหนา ด้วยเทคนิคต่าง ๆ ดังนี้

1. การศึกษาโครงสร้างด้วยเครื่อง X-Ray Diffractometer (XRD)

ลักษณะเฉพาะสำคัญอย่างหนึ่งของฟิล์มบางคือการศึกษาโครงสร้างผลึก หรือ เฟส ซึ่งสามารถวิเคราะห์ได้ด้วยเทคนิควิเคราะห์การเลี้ยวเบนรังสีเอกซ์ (Diffraction Analysis) หนึ่งถุทัย แก้วไช่ (2555) อดีบายหลักการของเทคนิคนี้ไว้ดังนี้ การวิเคราะห์การเลี้ยวเบนรังสีเอกซ์ เป็นเทคนิคที่ใช้สำหรับการแยกแยะ โครงสร้างของสารที่ใช้ในการเคลือบ โดยการวิเคราะห์อาศัย การเปรียบเทียบรูปแบบการเลี้ยวเบนกับมาตรฐาน JCPDS (Joint Committee on Powder Diffraction Standard) ของสารนั้น ดังนั้นเทคนิค XRD เป็นเทคนิคสำหรับวัดค่าความเข้มของรังสี เอกซ์ที่สะท้อนจากผลึก ใช้หลักการของการเลี้ยวเบนของคลื่น โดยพบว่ารังสีเอกซ์เลี้ยวเบนได้เมื่อ ให้ตกลงบนผลึก ซึ่ง Bragg ได้เสนอแนวคิดว่าสามารถมองผลึกประกอบด้วยชั้น (Layer) หรือ ระนาบ (Plane) ของอะตอมซึ่งสามารถสะท้อนคลื่นที่ตกลงบน โดยมุนที่ตกลงบนเท่ากัน มุน สะท้อน ทั้งนี้คลื่นที่สะท้อนออกไปจากระนาบต่าง ๆ ดังกล่าวจะมีความเข้มสูง สำหรับรังสีเอกซ์ 1 และ 2 ตกกระทบทำมุน θ กับระนาบของผลึก A และ B สนามไฟฟ้าของรังสีเอกซ์จะก่อให้เกิด แรงคูลومป์กระทำบนอิเล็กตรอนที่ P กับ Q ให้สั่นด้วยความถี่เดียวกับรังสีเอกซ์ที่ตกลงบน และ อิเล็กตรอนนั้นแผ่คลื่นแม่เหล็กไฟฟ้าเป็นรังสีเอกซ์ออกไปทุกทิศทางแต่ในทิศทาง 1' และ 2' ซึ่งเสมือนรังสีเอกซ์สะท้อนออกจากระนาบของผลึกจะไปแทรกสอดแบบเสริมกัน (In Phase) แม้ว่าแบบจำลองที่กล่าวมาจะไม่ถูกต้องในทางกายภาพ เนื่องจากแท้จริงแล้วระนาบของอะตอม ไม่ได้สะท้อนคลื่นแต่ใช้เทคนิคใช้ในทางเรขาคณิต พิจารณา

$$\delta = n\lambda \quad (2-4)$$

เมื่อ δ คือ ความแตกต่างของระยะที่คลื่นเดินทาง
 λ คือ ความยาวคลื่น
 n คือ จำนวนเต็มใด ๆ

จากภาพที่ 2-17

$$\delta = SQ + QT = 2SQ \quad (2-5)$$

จักรุปตรีโภณมิตรพื้นฐาน

$$\delta = 2PQ \sin \theta \quad (2-6)$$

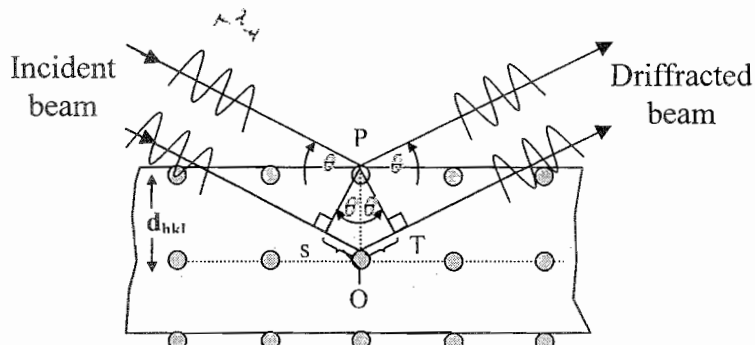
โดย PQ คือ ระยะห่างระหว่างรากฐาน d_{hkl}

$$\delta = 2d \sin \theta \quad (2-7)$$

จากสมการ (2-3) เท่ากับ (2-6) จะได้

$$2d_{hkl} \sin \theta = n\lambda \quad (2-8)$$

เรียกสมการที่ (2-8) นี้ว่า สมการการเลี้ยวเบนรังสีเอกซ์จากผลึก (Bragg's Law) โดยที่ λ เป็นความยาวคลื่น nm เป็นลำดับของการสะท้อน d_{hkl} เป็นระยะห่างระหว่างระนาบ ($h k l$) และ θ เป็นมุมตัดกระหบและมุมสะท้อนเมื่อวัดจากแนวระนาบที่กำลังพิจารณา ในภาพที่ 2-17 เป็นแบบจำลองสำหรับการพิสูจน์กฎของเบรคก์ อะตอมเรียงตัวเป็นระเบียบ โดยมีระยะห่างระหว่างอะตอมไก้สีเทียบกับความยาวคลื่นของรังสีเอกซ์ ($\sim 10^{-10} \text{ m}$) จะทำหน้าที่เป็นเสมือน เกรตติงเลี้ยวเบนแต่จะเป็นเกรตติงเลี้ยวเบนแบบ 3 มิติ



ภาพที่ 2-17 แบบจำลองการเรียงตัวของอะตอม

สัญญาณที่ตรวจจับได้จะแสดงออกมาในรูปแบบของการเลี้ยวเบนรังสี (Diffraction Pattern) ความเข้มของสัญญาณขึ้นอยู่กับหลายปัจจัยด้วยกันเช่น โครงสร้างของวัสดุ ปริมาตรของวัสดุที่แผ่รังสี (Volume of Irradiated Material) รูปทรงของการหักเห (Diffraction Geometry) และการวางชิ้นงาน (Sample Alignments) เป็นต้น

ตำแหน่งของพีค ที่มีค่ามากที่สุดสามารถอภิถึงขนาดและรูปร่างของหน่วยเซลล์ได้ในขณะที่ความกว้างให้หาค่าขนาด การจัดเรียงตัว (Orientation) และความเครียด (Strain) ภายในเกรนของวัสดุหลายหลัก ทั้งนี้ขนาดผลลัพธ์ของฟิล์มสามารถหาได้จากสมการของ Scherrer (ดังสมการที่ 2-9)

$$L = \frac{k\lambda}{\beta \cos \theta} \quad (2-9)$$

เมื่อ L คือ ขนาดผลลัพธ์

k คือ ค่าคงที่เท่ากับ 0.9

λ คือ ความยาวคลื่นของรังสีเอกซ์ ($\text{CuK}_\alpha = 1.5406 \text{ \AA}$)

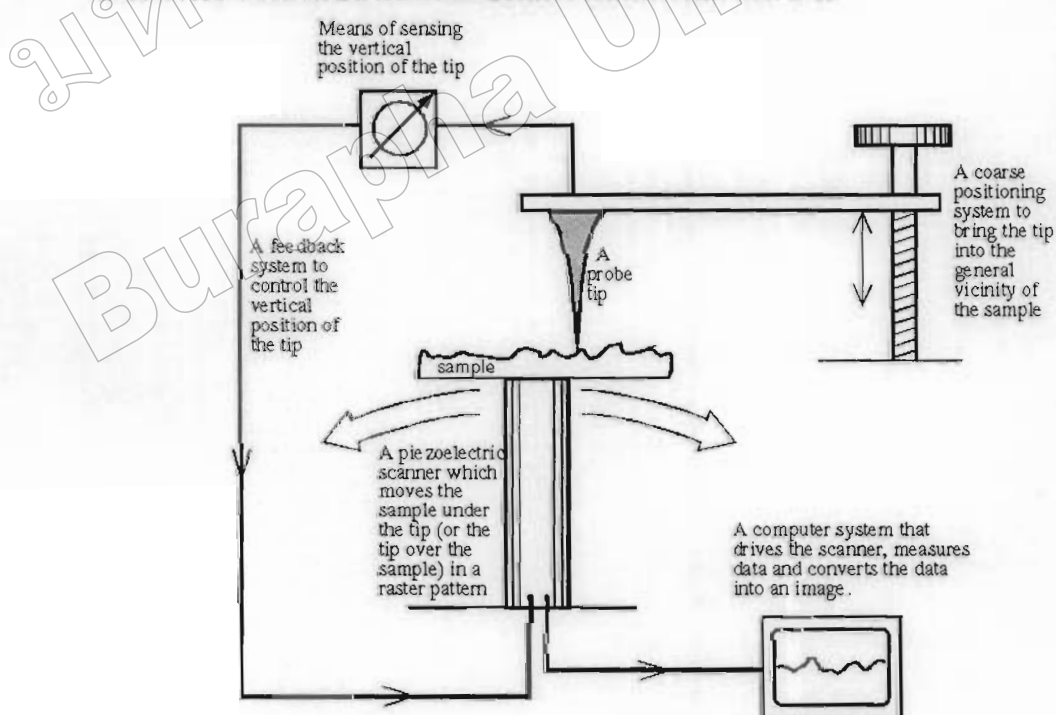
β คือ ความกว้างครึ่งหนึ่งของพีคที่มีค่าความเข้มสูงสุด

θ คือ ครึ่งหนึ่งของมุมตรงจุดศูนย์กลางพีค

บางครั้งตำแหน่งของรูปแบบการเลี้ยวเบนที่วัด ได้อาจจะเลื่อนไปด้วยค่ามุมที่สูงขึ้น เนื่องจากผลของการเคนค้าง (Residual Stress) ในผิวน้ำเคลือบบนนั้นเอง ส่วนความเข้มของสัญญาณที่ได้อาจไม่เป็นไปตามค่ามาตรฐาน JCPDS เพราะเกิดการจัดเรียงตัวในทิศทางที่ชอบ (Preferred Orientation) ของอะตอมในฟิล์มนอกจากนี้เทคนิคการเลี้ยวเบนรังสีเอกซ์ยังสามารถให้ข้อมูลที่บอกร่องส่วนผสมทางเคมีของเฟส (Phase Composition) และค่าพารามิเตอร์ของแลตทิซ (Lattice Parameter)

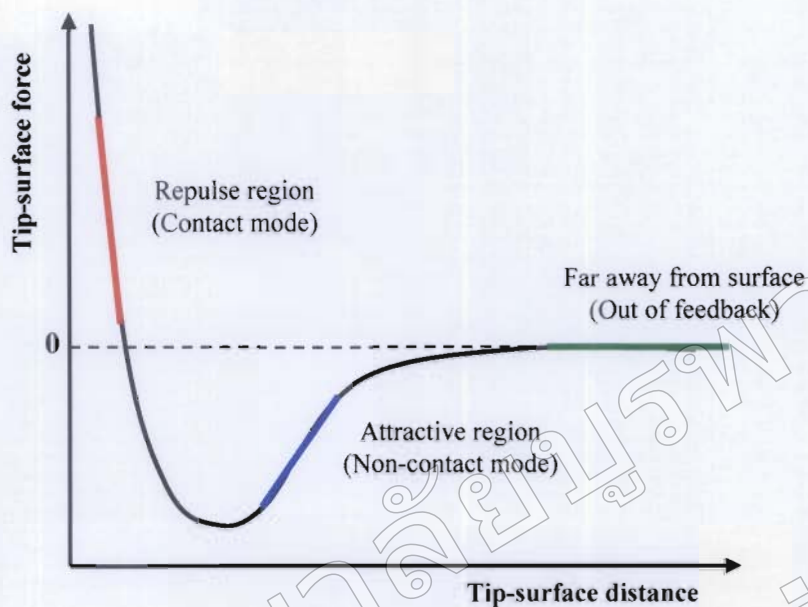
2. การศึกษาลักษณะพื้นผิวด้วยเครื่อง Atomic Force Microscopy (AFM)

ลักษณะเฉพาะสำคัญอีกอย่างหนึ่งของฟิล์มบางคือ ลักษณะพื้นผิว และความหนา เทคนิคที่ใช้ศึกษาลักษณะพื้นผิว และความหนา ของฟิล์มบาง คือ Atomic Force Microscopy (AFM) ซึ่ง จตุพร วุฒิกานกาญจน์ (2542) อธิบายหลักการทำงานไว้ว่าดังนี้ เทคนิค Atomic Force Microscopy เป็นการสร้างภาพของผิววัสดุจากแรงกระทำระหว่างผิววัสดุกับตัวตรวจวัดที่ทำจากเข็มขนาดเล็ก (Probe Tip) และเป็นเทคนิคหนึ่งในกลุ่มของ Scanning Probe Microscopy (SPM) ซึ่งเป็นกลุ่ม เทคนิคที่สามารถใช้ในการศึกษาสภาพพื้นผิวของวัสดุประเภทต่าง ๆ ได้ หลักการพื้นฐานคือ การใช้ เข็มตรวจวัดขนาดเล็กที่ทำจากซิลิโคนในไตรด์ (Silicon Nitride, Si_3N_4) เคลื่อนที่กราด (Scan) ไปทั่วบริเวณต่าง ๆ ของผิววัสดุ โดยนีตัวเพียงโดยอิเล็กทริกสแกนเนอร์ (Piezoelectric Scanner) เป็นตัวควบคุม สภาพผิวที่แตกต่างกันไปจะก่อให้เกิดการเปลี่ยนแปลงกับเข็มตรวจวัดแตกต่างกัน ไป โดยตัวค่านี้มีเชิงเส้นทางติดอยู่จะมีการโค้งงอ (Bending) ปริมาณการโค้งงอนี้สามารถตรวจวัดได้ โดยใช้โฟโตเดเตอร์ (Photo Detector) ดังภาพที่ 2-18 ภาพที่ได้จากเทคนิคนี้จะถูกคลื่นส่องตาม สภาพพื้นผิวในแต่ละบริเวณที่ตรวจสอบ ในเทคนิค AFM นี้ ถึงที่ทำให้คานที่มีเชิงเส้นทางอยู่เกิดการ โค้งงอนขึ้นก็คือ แรงกระทำระหว่างอะตอมซึ่งอาจจะเป็นแรงดึงดูดหรือแรงผลักก็ได้ขึ้นอยู่กับ ระยะห่างระหว่างเข็มปลายแหลมกับพื้นผิวดังแสดงในภาพที่ 2-19



ภาพที่ 2-18 องค์ประกอบหลักของเครื่อง Scanning Probe Microscope

(<http://www2.polito.it/ricerca/micronanotech/Strumenti/SPM.html>)



ภาพที่ 2-19 ลักษณะของแรงกระทำระหว่างอะตอมที่เกิดขึ้นในระยะห่างระหว่างวัตถุต่างๆ
(อธิศรี นูรนงค์, 2551)



ภาพที่ 2-20 เครื่อง AFM แบบ Multimode (http://rcsgi.eng.ohio-state.edu/nlim/page_01.htm)

ภาพที่ 2-20 แสดงให้เห็นถึงเครื่อง Atomic Force Microscope รุ่น NanoScope IIIa บริเวณตรงกลางเป็นที่ใช้วางชิ้นงาน โดยมีเข็มวัดวางอยู่ด้วย ส่วนด้านบนของเครื่องมีมีกล้องจุลทรรศน์วิดีโอ (Video Microscope) ติดตั้งไว้ สำหรับใช้คูต์แม่นงของเข็มที่จะทำการวางแผนบนบริเวณต่าง ๆ บนผิว ภาพที่ได้จากการถ่ายทอดด้วยจุลทรรศน์วิดีโอนี้จะแสดงทางจอโทรทัศน์ ด้านบนยังมีแหล่งกำเนิดแสงเลเซอร์และไฟโตเดกเตอร์ที่ใช้วัดการโค้งงอของคานยื่น

การเก็บข้อมูลด้วยเทคนิค AFM เก็บได้ 4 ลักษณะ (Mode) ดังนี้คือ

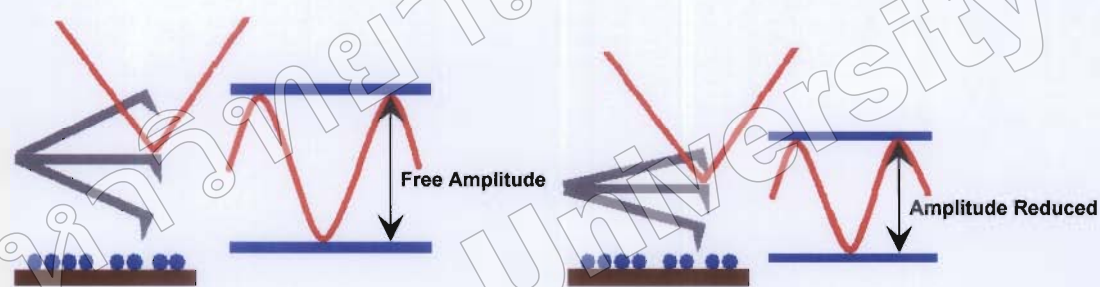
1. Contact Mode เป็นการศึกษาสภาพผิวชิ้นงานโดยการขยับให้เข้าไปในไอล (Slide) ไปบนผิวงานซึ่งจะทำให้มีแรงผลักเกิดขึ้น เมื่อจากเข็มกับผิวงานอยู่ใกล้กันมาก แรงผลักนี้จะเปลี่ยนแปลงไปตามสภาพผิว ซึ่งทำให้มีการโก่งงอ (Deflection) ของคานยื่น (Cantilever) ที่มีเข็มยึดเกาะอยู่ที่ปลาย โดยปริมาณการโก่งงอจะเปลี่ยนแปลงไปตามลักษณะของพื้นผิวชิ้นงาน

เทคนิคแบบ Contact Mode มีข้อสืบคือ การลากให้เข้ามตรวจวัดเคลื่อนที่ไอลขึ้นไปยังบริเวณต่าง ๆ บนผิวงาน อาจทำให้พื้นผิวสัมผัสถูกต้องกับผิวงานซึ่งมีอากาศและความชื้นในอากาศ อาจเกิดหยดน้ำหรือสิ่งสกปรกบนผิวงาน ซึ่งเมื่อเข้ามวัดเคลื่อนที่ไปสัมผัสกับผิวที่มีชั้นบาง ๆ ของหยดน้ำและสิ่งสกปรกดังกล่าว ทำให้มีแรงดึงไฟฟ้าสถิตและแรงตึงผิวดีงให้ตัวคานที่มีเข็มยึดอยู่ที่ปลายเคลื่อนที่ลงมาสัมผัสกับชั้นดังกล่าว ทำให้แรงระหว่างเข็มกับผิวงานที่เกิดขึ้นโดยรวมเปลี่ยนแปลงไป นอกจากนี้ ยังอาจทำให้ผิวงานถูกทำลาย เช่น เกิดการฉีกขาดจากการลากเข้าไปบนผิวงาน

2. Non-Contact Mode เพื่อหลีกเลี่ยงปัญหาข้างต้น ได้มีการพัฒนาเทคนิคแบบ Non-Contact Mode ขึ้นมา โดยตัวเข็มปลายแหลมจะถูกยกขึ้นมาให้มีระยะห่างเหนือผิวงานสูงมากขึ้น คือประมาณ 10 - 100 Å จึงไม่มีปัญหารือการทำลายโครงสร้างผิวงาน กรณีแรงกระทำระหว่างตัวคานที่มีเข็มปลายแหลมยึดเกาะอยู่กับผิวงานจะเป็นลักษณะแรงดึงดูด ซึ่งเปลี่ยนแปลงไปตามรูปทรงของสภาพผิวงาน เช่นเดียวกัน

วิธีนี้มีข้อจำกัดเกี่ยวกับความละเอียดของภาพที่เกิดขึ้น นั่นคือ แรงดึงดูดประเภทแวนเดอร์วัลส์ (Van Der Waals) ที่เกิดขึ้นในกรณีนี้จะเป็นแรงที่อ่อนกว่าเมื่อเทียบกับแรงผลักที่เกิดขึ้นในกรณีของ Contact Mode ดังนั้นการตรวจสอบอาจไว (Sensitive) ต่อสิ่งแปรปรวนที่อยู่บนผิวงาน เช่น หยดน้ำที่เกาะอยู่บนผิว

3. Tapping Mode เป็นเทคนิคที่รวมเอาลักษณะของการวัดแบบ Contact Mode และ Non-Contact Mode เข้าด้วยกัน กล่าวคือ ยังคงให้มีการสัมผัสกันระหว่างเข็มกับผิวงานในระยะที่ใกล้กันมาก เมื่อันกับกรณีของ Contact Mode เพื่อให้เกิดภาพที่ชัดเจน ในขณะเดียวกัน ก็จะมีการสั่นหรือขับเข็มปลายแหลมให้เคลื่อนที่ขึ้นลง ไปพร้อม ๆ กับการเคลื่อนที่สติกเกอร์ไปยังบริเวณต่าง ๆ บนผิวงาน ดังนั้นจึงเป็นการหลีกเลี่ยงปัญหาการลากไถเข็มปลายแหลม ซึ่งทำให้เกิดการทำลายสภาพของผิวงานได้ เมื่อันใน Contact Mode



ภาพที่ 2-21 ลักษณะการสั่นของคนที่มีเข็มติด

(<http://www.nanocraft.de/kompetenz/tapping/tapping.html>)

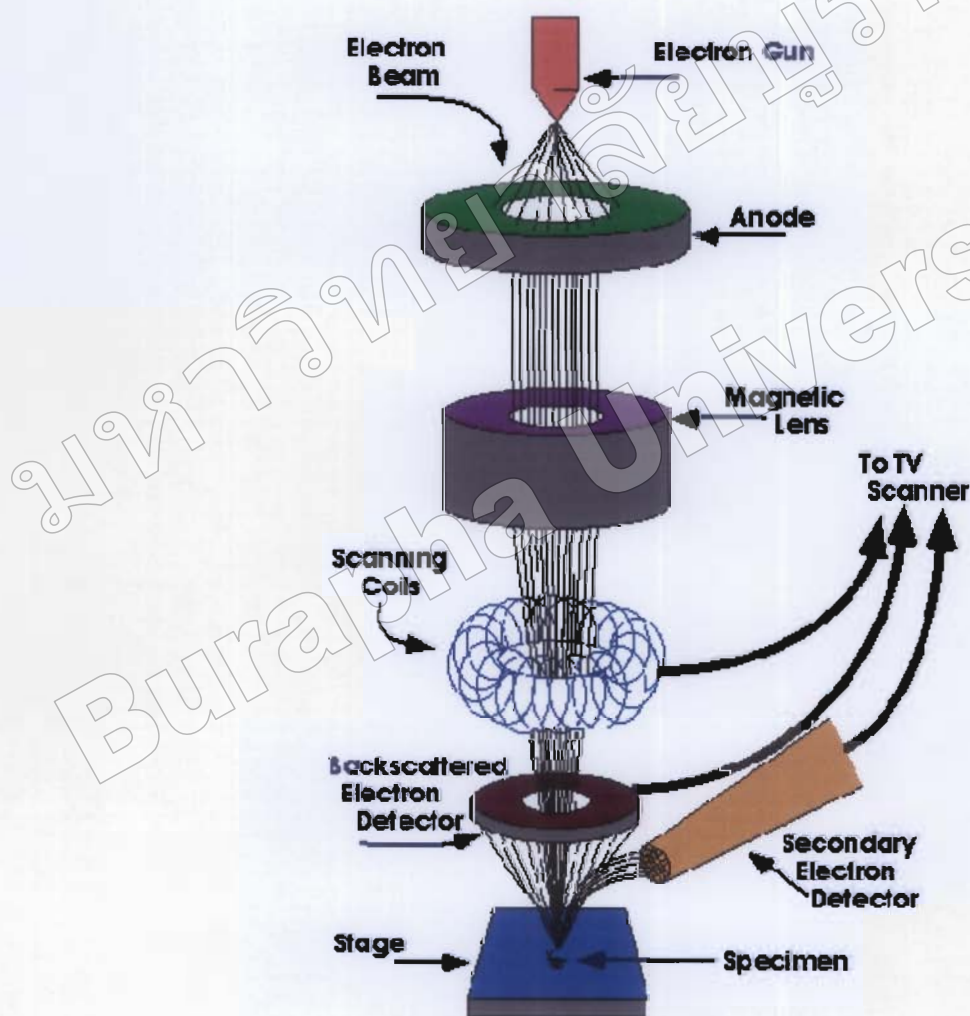
ภาพที่ 2-21 แสดงการสั่นของคานในสภาพอิสระหรือตอนเริ่มต้นที่ยังไม่เกิดการสัมผัส และเคลื่อนที่ไปบนผิวงาน จะเห็นว่าแอมเพลจูดยังสูงเมื่อเทียบกับแอมเพลจูดจากการสั่นของคาน เมื่อมีการแตะสัมผัส (Tapping) ลงบนผิวงาน เนื่องจากในการสัมผัสกันจะมีการสูญเสียพลังงานของ การสั่น ทำให้แอมเพลจูดของการสั่น (Oscillation Amplitude) ลดลง ซึ่งค่าที่ลดลงนี้ใช้เป็นตัววัด และบอกถึงลักษณะของสภาพพื้นผิวที่มีความสูงต่ำแตกต่างกัน ไป เช่น เมื่อเข้มตรวจวัดเคลื่อนที่ผ่าน บริเวณผิวงานที่มีความนูนสูงขึ้นมา คานจะมีพื้นที่หรือแอมเพลจูดในการสั่นลดลง ในทางตรงข้าม เมื่อเข้มป้ายแหลมเคลื่อนที่ผ่านบริเวณผิวที่มีการบุบตัวหรือมีความลึกลงไป ตัวคานก็จะมีพื้นที่ในการ สั่นเพิ่มขึ้น และมีแอมเพลจูดสูงขึ้น (เข้าใกล้แอมเพลจูดสูงสุดในสภาพที่ยังไม่มีการทำ การสแกน) แอมเพลจูดของการสั่นที่เปลี่ยนแปลงไปถูกวัดโดยแอมเพลจูดเดกเตอร์ (Amplitude Detector) ส่งไปยังตัวควบคุม เมื่อวัดสัญญาณร้อนทั้งปรับระยะระหว่างเข็มกับผิวงาน เพื่อรักษา ให้ค่าแอมเพลจูดของการสั่นคงที่ต่อไป จนกว้มีการทำเปลี่ยนแปลงของแอมเพลจูดอย่างการสั่นตาม สภาพพื้นผิวในบริเวณถัดไป

4. Force Modulation Mode วิธีนี้หมายความว่าสำหรับพื้นผิวสุดที่มีหลายเฟส เทคนิกนี้เป็น การวัดและสร้างภาพพื้นผิวชิ้นงานที่มีความแตกต่างของความแข็งแกร่ง (Stiffness) ในแต่ละเฟสสูง โดยกรณีนี้ตัวเข็มสแกนไปในลักษณะที่มีการสั่นในแนวตั้งจากกับผิวสุดด้วยแอมเพลจูดเดกันน้อย แต่มีความเร็วในการสั่นที่สูงกว่าการเคลื่อนที่สแกนของเข็ม และเมื่อตัวเข็มถูกนำเข้ามาแตะสัมผัส กับผิวสุดจะเกิดแรงด้านจากผิวของวัสดุที่เกิดจากการสั่นและทำให้ตัวคานงอ ถ้าหากให้แรงที่ทำ ให้ตัวคานสั่นคงที่ พื้นผิวบริเวณที่แข็งกว่าจะทำให้เกิดการด้านต่อการสั่นในแนวตั้งของตัวคาน มากกว่า และจึงทำให้ตัวคานของมากกว่า ดังนั้น การเปลี่ยนแปลงของ แอมเพลจูดที่เกิดจากการ โถ่ลงของตัวคานจึงนำมาใช้วัดปรีบบิ่นที่บีบีเวณต่าง ๆ ของผิวงาน

หลักการของวิธี Tapping Mode กับ Force Modulation Mode คล้ายกันที่มีการสั่นของ เข็มในแนวตั้งพร้อมมีการสแกนไปบนผิวชิ้นงาน ความแตกต่างของ 2 เทคนิกคือ กรณี Force Modulation Mode จะสั่นด้วยความเร็วสูง (สูงกว่าความเร็วในการสแกน) และการวัดแอมเพลจูดที่ เกิดจากการบีบดองของคาน เป็นการวัดเนื่องจากผลของแรงด้านการสั่น เมื่อมีการสัมผัสของเข็มกับ ผิวงาน ขณะที่ Tapping Mode เป็นการวัดการเปลี่ยนแปลงแอมเพลจูดของการสั่นของคานที่ เปลี่ยนแปลงไป (ลดลง) เนื่องมาจากมีการสูญเสียพลังงานไปเมื่อมีการสัมผัสผิวงานที่มีระดับ ความสูงต่ำแตกต่างกัน

3. การศึกษาลักษณะพื้นผิวด้วยเครื่อง Scanning Electron Microscope (SEM)

เทคนิคที่นิยมใช้ในการศึกษาลักษณะพื้นผิวของฟิล์มบาง คือ Scanning Electron Microscope (SEM) ซึ่ง วิธีสักดี อุดมกิจเดชา และคณะ (2543) ได้อธิบายหลักการทำงานของ เครื่อง ไว้ดังนี้ เทคนิค Scanning Electron Microscope สัญญาณภาพที่ได้เกิดจากการใช้ตัวตรวจวัด อิเล็กตรอนทุติยภูมิ (Secondary Electron detector; SE detector) มาจับสัญญาณอิเล็กตรอนทุติยภูมิที่ เกิดขึ้น หรือใช้ตัวตรวจวัดอิเล็กตรอนกระเจิงกลับ (Backscatter Electron detector; BSE detector) มาจับสัญญาณอิเล็กตรอนกระเจิงกลับที่เกิดขึ้นดังแสดงในภาพที่ 2-22



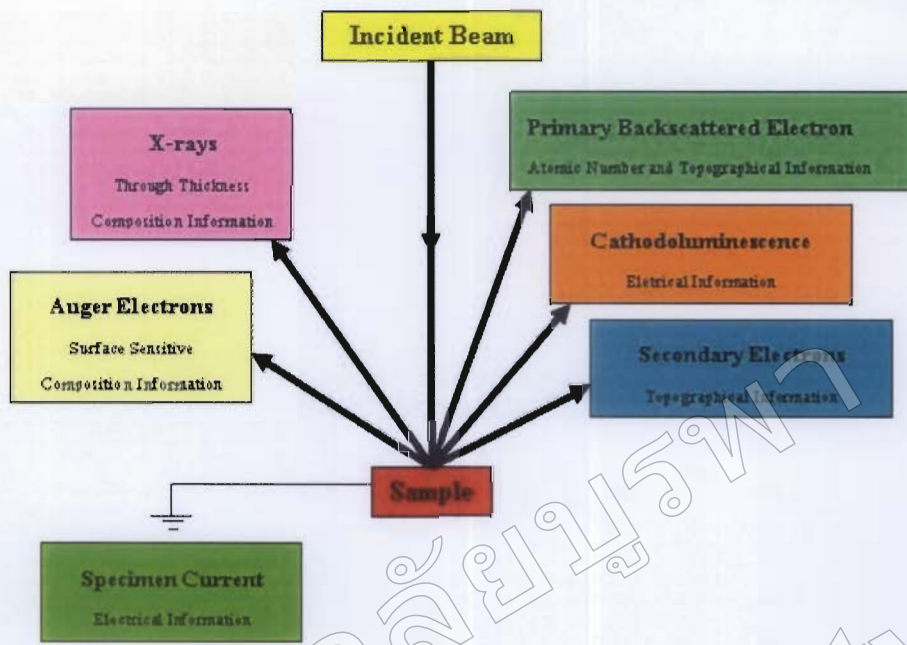
ภาพที่ 2-22 องค์ประกอบหลักของเครื่องมือ Scanning Electron Microscope

(www.purdue.edu/REM/rs/graphics/sem2.gif)

อิเล็กตรอนทุติยภูมิจากแหล่งกำเนิดอิเล็กตรอนจะถูกเร่งด้วยศักย์ไฟฟ้าสูงที่สามารถปรับค่าได้ จากนั้นจึงถูกดึงคุดลงสู่เบื้องล่างโดยแผ่นอาโนดภายในด้วยไฟฟ้าความดันสูญญากาศ 10^{-5} ถึง 10^{-7} torr และมีชุดคอนเดนเซอร์เลนส์ที่จะปรับลำอิเล็กตรอนให้มีขนาดเล็กลง เพื่อเป็นการเพิ่มความเข้มของลำอิเล็กตรอน จากนั้นลำอิเล็กตรอนจะวิงลงสู่เบื้องล่างผ่านเลนส์วัตตุ ซึ่งทำหน้าที่ในการปรับลำอิเล็กตรอนทุติยภูมิให้มีชุดโฟกัสบนผิwtawoyangพอดี และลำอิเล็กตรอนที่ตกกระทบผิwtawoyangมีชุดโฟกัสบนผิwtawoyangพอดี และลำอิเล็กตรอนที่ตกกระทบ

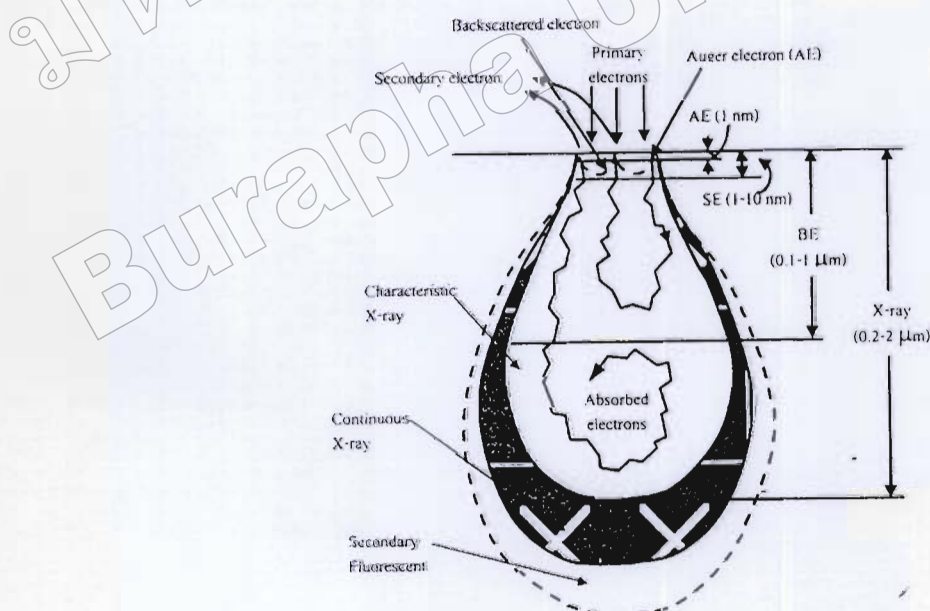
ผิwtawoyangหรือตัวอย่างจะมีขนาดในช่วง 5 ถึง 200 nm โดยมีชุดควบคุมการส่องรากดของลำอิเล็กตรอนทำหน้าที่ควบคุมทิศทางการเคลื่อนที่ของลำอิเล็กตรอนบนพื้นผิwtawoyang ขณะที่ลำอิเล็กตรอนกระทบผิwtawoyangจะเกิดอันตราริยาระหว่างอิเล็กตรอนทุติยภูมิกับอะตอมของธาตุในวัตตุหรือตัวอย่างและเกิดการถ่ายโอนพลังงานที่ชั้นความลึกจากพื้นผิwtawoyangที่ระดับต่าง ๆ ทำให้เกิดการปลดปล่อยสัญญาณอิเล็กตรอนชนิดต่าง ๆ ออคมา (ภาพที่ 2-23 และภาพที่ 2-24) สัญญาณภาพที่ได้จากสัญญาณอิเล็กตรอนชนิดต่าง ๆ ที่เกิดคือ

1. สัญญาณภาพจากอิเล็กตรอนทุติยภูมิ (Secondary Electron Image; SEI) หรือเป็นกลุ่มอิเล็กตรอนพลังงานต่ำ 3 ถึง 5 eV เกิดที่พื้นผิwrangดับไม่ลึก โดยเกิดกับธาตุที่มีแรงยึดเหนี่ยวอิเล็กตรอนที่ผิwtawoyang
2. สัญญาณภาพจากอิเล็กตรอนกระเจิงกลับ (Backscattered Electron Image; BEI) หรือเป็นกลุ่มอิเล็กตรอนที่สัญเสียพลังงานเป็นบางส่วนและกระเจิงกลับอคมา
3. สัญญาณภาพจากรังสีเอกซ์ (X-ray Electron Image; XRI) ชนิดที่เป็นรังสีเอกซ์เฉพาะตัวเป็นคลื่นแม่เหล็กไฟฟ้าที่เกิดจากอิเล็กตรอนในระดับชั้นโคจรต่าง ๆ (K, L, M,...) ถูกกระตุ้นหรือได้รับพลังงานมากพ่อนหลุดออกจากวงโคจรออกมานำไปห้องต้องรักษาสันดุลของโครงสร้างรวมภายในอะตอมโดยการดึงอิเล็กตรอนจากชั้นโคจรถัดไปมาแทนที่ และต้องลดระดับพลังงานภายใต้เงื่อนไขที่ต้องการ ทำให้อะตอมต้องรักษาสันดุลของโครงสร้างรวมภายในอะตอมโดยการดึงอิเล็กตรอนที่ถูกดึงมาแทนที่ระดับพลังงานสูงกว่า โดยการปลดปล่อยพลังงานส่วนเกินออกมานรูปคลื่นแม่เหล็กไฟฟ้า เพื่อทำให้ตัวของมีพลังงานเท่ากับวงโคจรที่ไปแทนที่ซึ่งคลื่นแม่เหล็กไฟฟ้าในแต่ละชาติ จึงสามารถนำมาใช้ประโภชน์ในการวิเคราะห์ได้ทั้งเชิงปริมาณและคุณภาพ



ภาพที่ 2-23 การเกิดอันตรกิริยะระหว่างอิเล็กตรอนปัจุบันภูมิกับอะตอมตัวอย่าง

(วีระศักดิ์ อุดมกิจเดชา และคณะ, 2543)



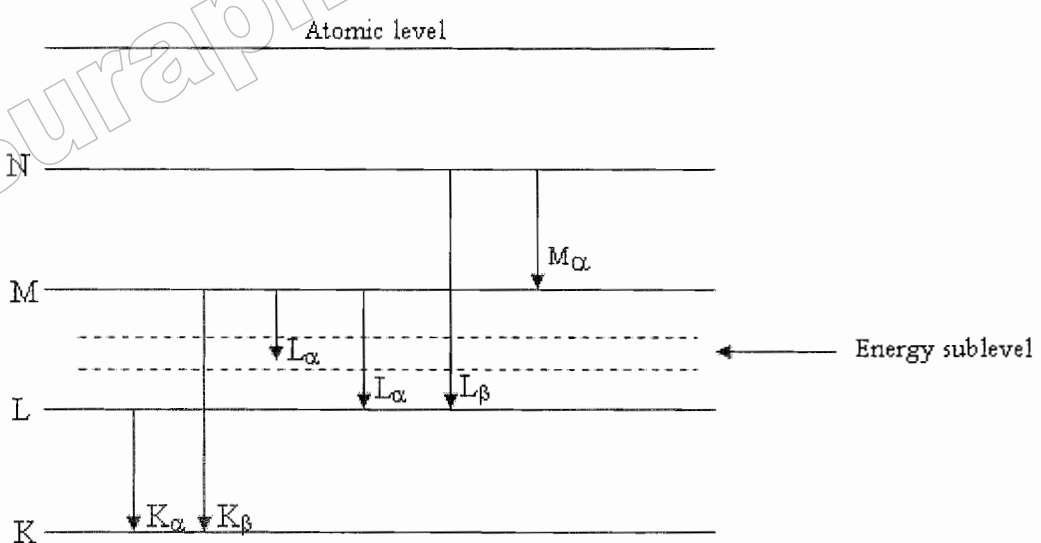
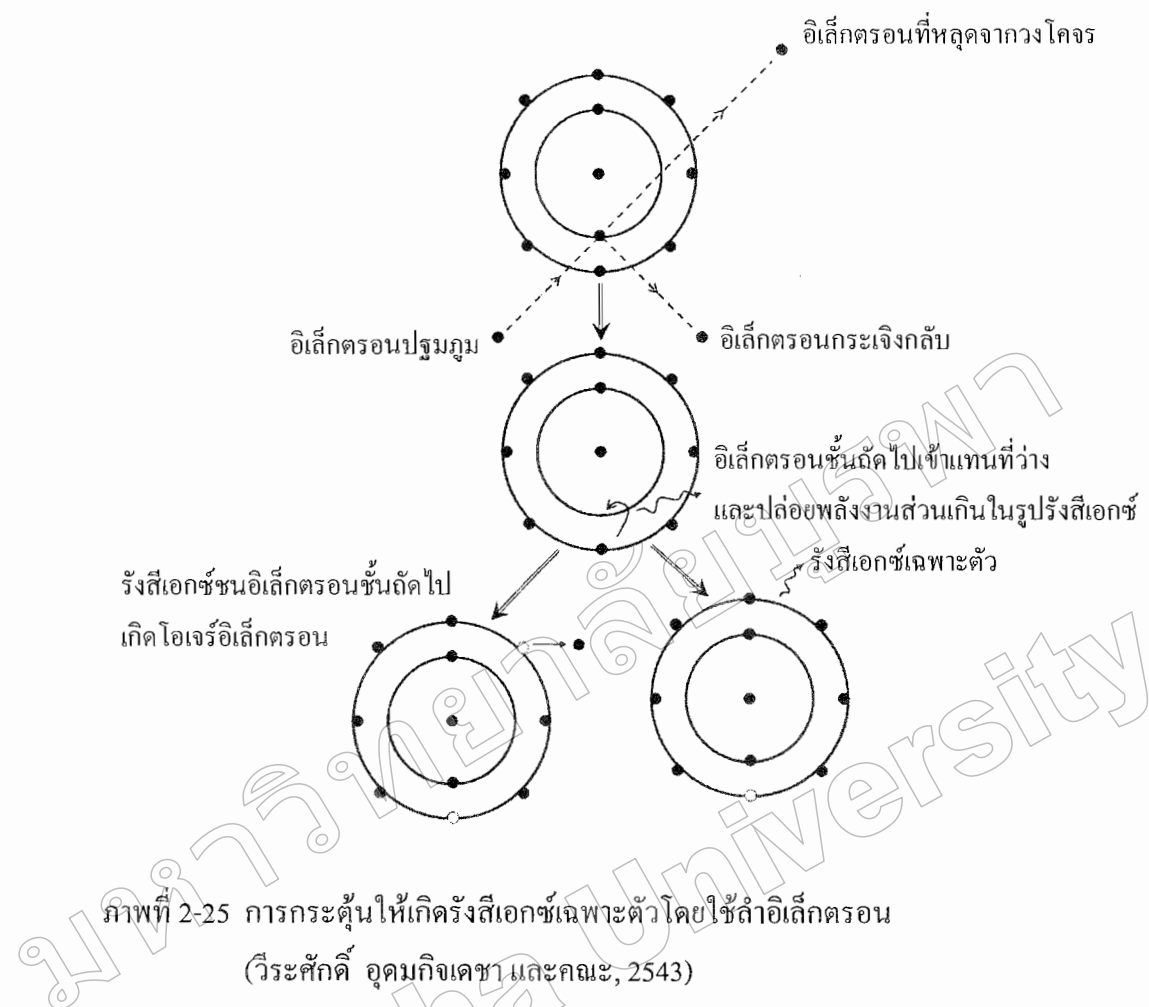
ภาพที่ 2-24 การเกิดอันตรกิริยะระหว่างอิเล็กตรอนปัจุบันภูมิกับตัวอย่างที่ระดับชั้นความลึกต่าง ๆ

(วีระศักดิ์ อุดมกิจเดชา และคณะ, 2543)

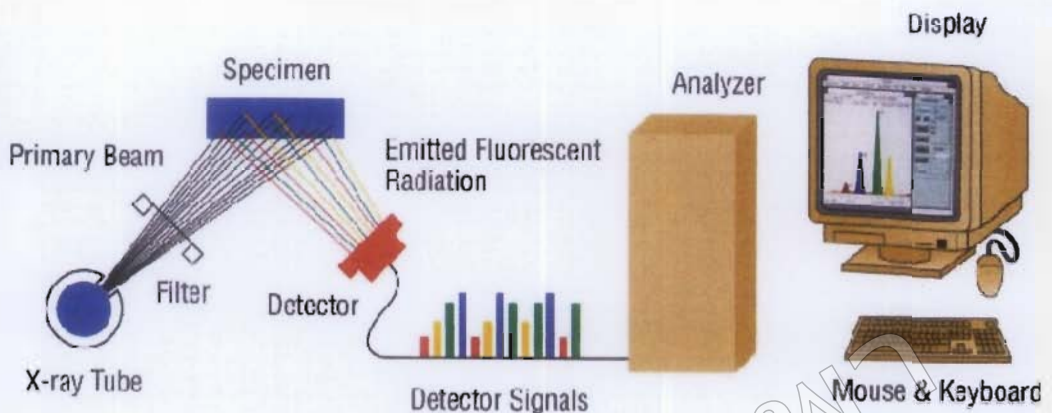
4. การศึกษาองค์ประกอบของชาตุทางเคมีด้วยเครื่อง Energy Dispersive X-ray spectroscopy (EDX)

ลักษณะเฉพาะสำคัญอีกประการหนึ่งของฟิล์มบางคือ องค์ประกอบของชาตุทางเคมี เทคนิกที่นิยมใช้ศึกษาองค์ประกอบของชาตุทางเคมีของฟิล์มบาง คือ Energy Dispersive X-ray spectroscopy ซึ่ง วีระศักดิ์ อุดมกิตเจชา และคณะ (2543) ได้อธิบายหลักการทำงานของเครื่องไว้ ดังนี้ เมื่อลำอิเล็กตรอนพลังงานสูงเข้าชนอิเล็กตรอนในวงโคจรชั้นในของอะตอม เช่น ชั้น K หรือ ชั้น L แล้วเกิดการถ่ายโอนพลังงานให้แก่อิเล็กตรอน ทำให้อิเล็กตรอนชั้นในที่ได้รับพลังงาน ดังกล่าวมีพลังงานสูงขึ้นเกินพลังงานยึดเหนี่ยวของชั้น โครงการจึงลดอุณหภูมิของวงโคจร ทำให้เกิดที่ ว่างของอิเล็กตรอนในชั้น โครงการ จากนั้นอะตอมที่อยู่ในสถานะกระตุ้นลดระดับพลังงานลงสู่ภาวะ ปกติในช่วงระยะเวลาอันสั้น (10^{-15} วินาที) โดยอิเล็กตรอนของวงจรชั้นดังออกไปลดระดับพลังงาน ลงมาท่ากับพลังงานยึดเหนี่ยวของวงจรที่เกิดที่ว่างของอิเล็กตรอน ด้วยการปล่อยพลังงานส่วนเกิน ในรูปของรังสีเอกซ์ แล้วอิเล็กตรอนจะเข้ามายังที่ พลังงานส่วนเกินนี้มีพลังงานท่ากับความต่าง ของระดับพลังงานบีบเทือนี่叫做พาราโบล่า โครงการของอิเล็กตรอน และเฉพาะของชาตุนั้น ๆ จึงมีค่า พลังงานเฉพาะค่า เรียกว่า “รังสีเอกซ์เฉพาะตัว” ดังแสดงในภาพที่ 2-25 และภาพที่ 2-26

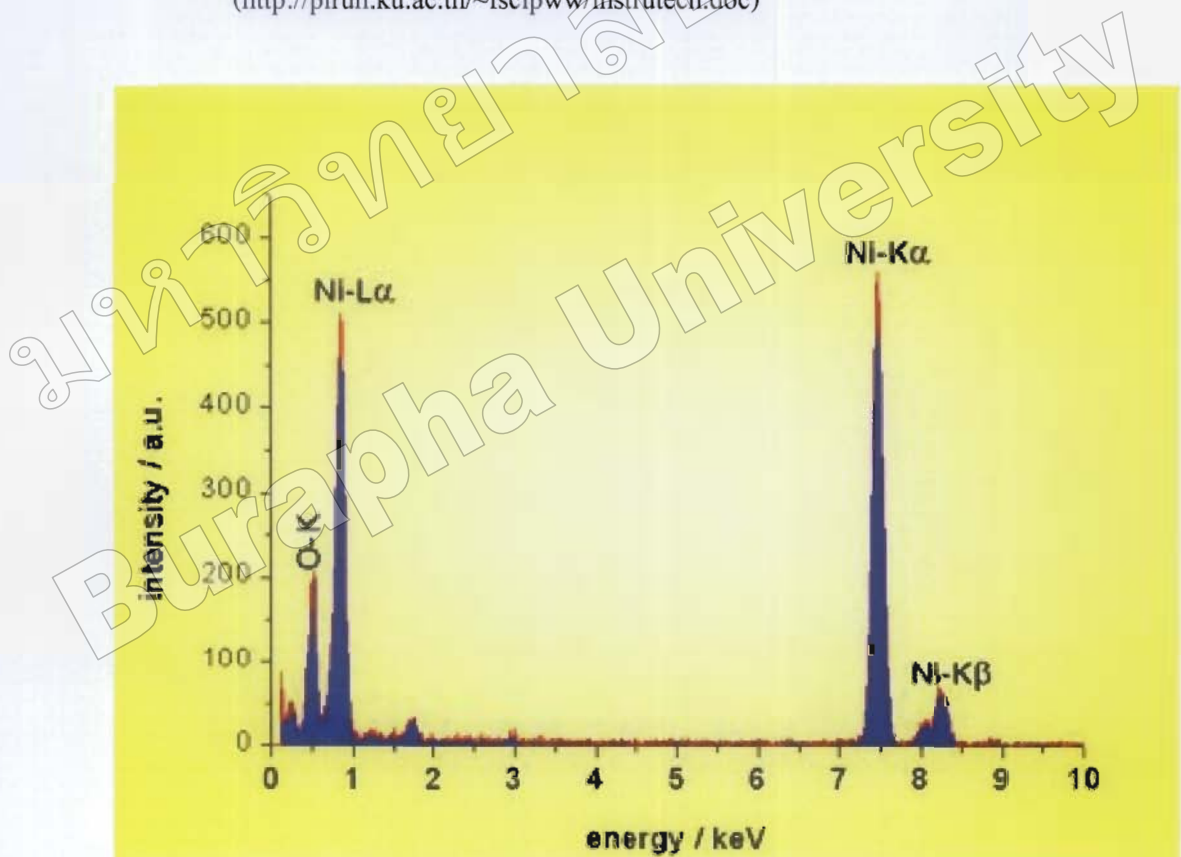
ในระบบการวิเคราะห์ชาตุด้วยรังสีเอกซ์แบบ EDX หัววัดรังสีที่นิยมใช้ในปัจจุบัน คือ หัววัดรังสีแบบ Si (Li) ซึ่งเหมาะสมสำหรับการวัดรังสีเอกซ์เฉพาะตัวที่มีพลังงานในช่วง 1 ถึง 30 keV หรือหัวดชนิดเจอร์มานเนี่ยมความบริสุทธิ์สูง (High Purity Germanium; HPGe) ซึ่งสามารถวัดรังสี เอกซ์เฉพาะตัวได้ช่วงกว้าง คือ 3 ถึง 200 keV โดยหัววัดรังสีเอกซ์ทั้งสอง 2 แบบ จะเปลี่ยนพลังงาน ของรังสีให้เป็นสัญญาณไฟฟ้าในรูปของสัญญาณไฟฟ้า โดยขนาดของสัญญาณไฟฟ้าที่ทางออกของ หัววัดจะเป็นปฎิภาค โดยตรงกับพลังงานของรังสีเอกซ์ที่ตกลงบนหัววัด จากนั้นวงจรขยาย แบบซองเดี่ยวหรือหลายซองจะเก็บสัญญาณไฟฟ้าจากหัววัดในหน่วยความจำที่อยู่ภายในเครื่อง และแสดงผลวิเคราะห์บนจอภาพในรูปของスペกตรัม พร้อมทั้งผลวิเคราะห์เชิงปริมาณและคุณภาพ โดยโปรแกรมสำเร็จรูปดังภาพที่ 2-27 และภาพที่ 2-28



ภาพที่ 2-26 การเกิดรังสีเอกซ์เนutrality ที่ระดับพลังงานของชั้นโคจรต่าง ๆ
(วีระศักดิ์ อุคมกิจเดชา และคณะ, 2543)



ภาพที่ 2-27 องค์ประกอบหลักของเครื่องมือ Energy Dispersive X-ray spectroscopy (EDX)
<http://pirun.ku.ac.th/~fscipww/instrutech.doc>



ภาพที่ 2-28 ตัวอย่างการวิเคราะห์องค์ประกอบของธาตุทางเคมีด้วยเทคนิค EDX
www.ifw-dresden.de/institutes/ikm/organisatio

งานวิจัยที่เกี่ยวข้อง

ฟิล์มบางไทเทเนียมอลูминีียมในไตรค์เป็นฟิล์มบางหรือชั้นเคลือบแข็งในกลุ่มชั้นเคลือบของสารประกอบสามชนิด ที่เหมาะสมสำหรับงานด้านการเคลือบแข็งบน Tooling หรือ High Speed Machining มากกว่าก่อร่องชั้นเคลือบของสารประกอบสองชนิด ซึ่งทำได้โดยการผสมอลูминีียม (Al) ในระหว่างกระบวนการเตรียมฟิล์มบาง ทำให้ได้ฟิล์มที่มีความแข็งสูง สามารถทำงานได้ดีในช่วงความร้อนสูงตั้งแต่ $750 - 900^{\circ}\text{C}$ (Harish, Barshilia, Yogesh, & Rajim, 2009; Wuhrer & Yeung, 2003) ด้านทานการเกิดออกซิเดชัน การกัดกร่อนและมีสัมประสิทธิ์การเสียดทานต่ำ ช่วยยืดอายุการใช้งานที่เคลือบให้นานขึ้นทำให้มีการศึกษาวิจัยและพัฒนาเทคนิคและกระบวนการเตรียมฟิล์มบางไทเทเนียมอลูминีียมในไตรค์ด้วยวิธีต่าง ๆ เช่น การเคลือบในสุญญาวด้วยวิธีเรอคติฟเมกนีตรอนโคสปัตเตอริง (Reactive Magnetron Co-Sputtering) (Wuhrer & Yeung, 2003; Buranawong, Witit-anun, Chaiyakun, Pokaipisit, & Limsuwan, 2011) หรือเรอคติฟเมกนีตรอนสปัตเตอริง (Reactive Magnetron Sputtering) (Chu, Shum, & Shen, 2006; Fanghua, Nam, Lun, & Geyang, 2005) อาร์กไอโอนเพลตติ้ง (Arc Ion Plating) (Sheng-Sheng et al., 2008) รวมถึงการเคลือบด้วยวิธีเรอคติฟดีซี หรือ อาร์เอยฟเมกนีตรอนสปัตเตอริง (Reactive DC RF Magnetron Sputtering) (Tao, Pulin, Xun, & Chu, 2009; Jong-Keuk, Hyun-Jin, Jin-Ho, & Young-Joon, 2009; Liu, Duh, Chung, & Wang, 2005) อย่างไรก็ตามพบว่ากระบวนการเตรียมฟิล์มที่ก่อร่องนั้นมีข้อดีและข้อเสียแตกต่างกันไป แต่การเคลือบด้วยวิธีเรอคติฟเมกนีตรอนโคสปัตเตอริง มีข้อได้เปรียบที่ยนหดายประการ เช่น ใช้อุณหภูมิในการเคลือบชั้นงานต่ำ สามารถควบคุมสัดส่วนขององค์ประกอบธาตุของฟิล์มได้สะดวกและไม่ผุงยาก เพียงแค่ปรับค่ากระแสไฟฟ้าที่จ่ายให้แก่เป้าสารเคลือบท่านั้น และสามารถประยุกต์ใช้กับงานเคลือบขนาดใหญ่ได้ ในช่วงที่ผ่านมา มีงานวิจัยที่เกี่ยวข้องโดยสรุปดังนี้

Wuhrer and Yeung (2003) ศึกษาผลของการยะห่างระหว่างเป้าสารเคลือบและวัสดุรองรับที่เคลือบแบบเมกนีตรอนสปัตเตอร์ ซึ่งมีผลต่อโครงสร้างผลึกระดับนาโนของชั้นเคลือบไทเทเนียมอลูминีียมในไตรค์ โครงสร้างระดับนาโนของชั้นเคลือบไทเทเนียมอลูминีียมในไตรค์ที่เคลือบด้วยวิธีเมกนีตรอนสปัตเตอริง โดยที่ระยะห่างระหว่างเป้าสารเคลือบและวัสดุรองรับมีผลต่อโครงสร้างระดับจุดภาคและสมบัติของชั้นเคลือบ ที่ระยะห่างน้อย ๆ ชั้นเคลือบแน่น โครงสร้างระดับนาโนของชั้นเคลือบ ternary nitride มีความแข็งมากขึ้น

Subramanian, Ashok, Kuppusami, Sanjeeviraja, and Jayachandran (2008) ศึกษาลักษณะเฉพาะของฟิล์มบางไทเทนเนียมอลูминีียมในไตรด์ ด้วยวิธีรีแอคตีฟดีซี แมกนีตรอนสปัตเตอริง การเตรียมฟิล์มบางไทเทนเนียมอลูминีียมในไตรด์ ที่มีความหนาประมาณ $1 \mu\text{m}$ เคลือบลงบนเหล็กอ่อน (Mild Steel) ด้วยวิธีรีแอคตีฟดีซี แมกนีตรอนสปัตเตอริง โดยเป้าสารเคลือบที่ใช้คือ เป้าไทเทนเนียม และเป้าอลูминีียม เพื่อศึกษาลักษณะเฉพาะของฟิล์มบางที่เคลือบได้ด้วยเทคนิคต่าง ๆ โดยผลจาก XRD มีเฟสของไทเทนเนียมอลูминีียมในไตรด์ในระนาบ (111) และ (200) ซึ่งมีโครงสร้างผลึกแบบ face center cubic ผลจาก SEM และ AFM บอกถึงความสม่ำเสมอและความแน่นของฟิล์ม Photoluminescence (PL) แสดงถึงสมบัติทางแสงที่ดีของฟิล์มบางไทเทนเนียม อลูминีียมในไตรด์ ผลจาก Laser Raman แสดงถึงลักษณะเฉพาะของพื้นไทเทนเนียมอลูминีียมในไตรด์ ที่ $312.5, 675$ และ 1187.5 cm^{-1}

Fanghua, Nam, Lun, and Geyang (2005) ศึกษาผลของความดันย่ออยแก๊ส ในไตรเจนต่อโครงสร้างจุลภาคและสมบัติเชิงกลของชั้นเคลือบ $(\text{Ti}, \text{Al})\text{N}$ ที่เคลือบด้วยวิธีรีแอคตีฟสปัตเตอริง ด้วยเป้าโนเมสกของ Ti-Al และใช้แก๊สอาร์กอนและไนโตรเจน โดยperc ความดันย่ออยแก๊ส ในไตรเจน ในส่วนของการวิเคราะห์ อัตราการเคลือบ ส่วนประกอบและโครงสร้างจุลภาคของชั้นเคลือบ วัดโดย Energy Dispersive X-ray Spectroscopy, X-ray Diffraction, Transmission Electron Microscopy และ Nanoindentor ผลที่ได้พบว่า ความดันย่ออยแก๊ส ในไตรเจนมีบทบาทสำคัญต่อชั้นเคลือบ $(\text{Ti}, \text{Al})\text{N}$ สามารถถังเคราะห์ชั้นเคลือบ $(\text{Ti}, \text{Al})\text{N}$ ที่ stoichiometric ratio ได้ง่าย ในช่วงความดันย่ออยแก๊ส ในไตรเจนที่เหมาะสม และพบว่า ชั้นเคลือบมีโครงสร้างแบบ fcc เพสเดียว ที่ texture preferential orientation (111) ชั้นเคลือบมีความแข็งมากที่สุด โดยมีค่าเท่ากับ 34.4 GPa และมีความยืดหยุ่นมากสุดเท่ากับ 392 GPa ชั้นเคลือบ $(\text{Ti}, \text{Al})\text{N}$ ที่เตรียมด้วยความดันย่ออยแก๊ส ในไตรเจน ค้ำพนว่า มีปริมาณ ในไตรเจนและความแข็งตัว ในทางกลับกัน ที่ความดันย่ออยแก๊ส ในไตรเจนสูง ๆ อัตราการเคลือบของฟิล์มลดลงอย่างมากเนื่องจาก ในไตรเจนทำปฏิกิริยากันเป้า Ti-Al และฟอร์มตัวเป็นชั้น ในไตรด์ที่หน้าเป้า ขณะที่องค์ประกอบเคมีของชั้นเคลือบเกือบไม่มีการเปลี่ยนแปลง และพบ โครงสร้างผลึกกระดับนาโน หรือ โครงสร้างอสัมฐานและมีความแข็งตัว

Tao, Pulin, Xun, and Chu (2009) ศึกษาผลของความดันย่ออยแก๊ส ในไตรเจนที่มีต่อสมบัติเชิงกลของฟิล์ม $(\text{Ti}, \text{Al})\text{N}$ ที่เคลือบด้วยวิธีรีแอคตีฟดีซี แมกนีตรอนสปัตเตอริง โดยใช้เป้าโนเมสกของ Ti-Al ที่วัสดุรองรับจ่ายไฟแอดส์ -100 V การทดสอบความแข็งด้วยเทคนิค Nanoindentation แสดงให้เห็นว่า เมื่อความดันย่ออย ในไตรเจนเพิ่มขึ้น ฟิล์มนี้ ความแข็งและค่าโมดูลัสความยืดหยุ่นเพิ่มขึ้น ในระบบแรกและลดลงในภายหลัง ค่าความแข็งและค่าโมดูลัสความยืดหยุ่น มีค่ามากสุดเท่ากับ 43.4 GPa และ 430.8 GPa ตามลำดับ เช่นว่า แนวโน้มการเปลี่ยนแปลงในขนาดเกรน

และ preferential orientation ของผลึกในฟิล์ม (Ti, Al)N เปลี่ยนไปเมื่อแปรค่าความดันบ่อยแก๊ส ในไตรเจน ปราภูมิการณ์นี้ถูกยืนยันโดย ผลที่ได้จาก X-ray Diffraction (XRD) และ Energy Dispersive X-ray Spectroscopy (EDS)

Harish, Yogesh, and Rajam (2009) ศึกษาการเคลือบฟิล์มบาง ไทเทเนียมอลูมิเนียม ในไตรค์ ด้วยวิธีรีแอคติฟใบโพลาพัลส์ซีอันบาลานซ์แมกนีตรอนสปีตเตอริง เคลือบบนหัวเจาะความเร็วสูง (high-speed steel drill bits) ชิลิกอน และเหล็กโดยใช้การโโทดส์หัว ระบบบรีแอคติฟ ในโพลาร์พัลส์ซีอันบาลานซ์แมกนีตรอนสปีตเตอริง เคลือบฟิล์ม ไทเทเนียมอลูมิเนียม ในไตรค์ จากรีแอคติฟสปีตเตอริง ของเป้า ไทเทเนียมและเป้าอลูมิเนียม ในพลาสม่าของในไตรเจนกับ อาร์กอน การปรับปรุงผิววัสดุทำได้หลายวิธีเพื่อปรับปรุงการยึดเกาะของฟิล์ม ไทเทเนียมอลูมิเนียม ในไตรค์ เช่น ไขข้อของกระบวนการเคลือบที่เหมาะสมทำให้ฟิล์ม ไทเทเนียมอลูมิเนียม ในไตรค์ คุณภาพดี นำฟิล์มที่ได้ไปศึกษาลักษณะทางด้วย X-ray Diffraction , Scanning Electron Microscopy, Energy-Dispersive X-ray Analysis, X-ray Photoelectron Spectroscopy, Nano-indentation, Atomic Force Microscopy, Wear Tester and Potentiodynamic Polarization Techniques ประสิทธิภาพของฟิล์ม ไทเทเนียมอลูมิเนียม ในไตรค์ ที่เคลือบบนหัวเจาะความเร็วสูง แล้วนำไปทดสอบ โดยการเจาะบนแผ่นสแตนเลส 304 ความหนา 13 mm ประสิทธิภาพการทดสอบ มีการใช้และไม่ใช้วัตถุให้ความเย็น ผลแสดงถึงนัยสำคัญของการปรับปรุงในประสิทธิภาพของ ฟิล์ม ไทเทเนียมอลูมิเนียม ในไตรค์ที่ถูกเคลือบบนหัวเจาะความเร็วสูง นอกจากนี้ยังแสดงการเจาะ แห้งของแผ่นสแตนเลส 304 มีความเป็นไปได้กับฟิล์ม ไทเทเนียมอลูมิเนียม ในไตรค์ที่เคลือบ บนหัวเจาะความเร็วสูง การปรับปรุงประสิทธิภาพของฟิล์ม ไทเทเนียมอลูมิเนียม ในไตรค์ ประกอบด้วย ความต้านทานการเกิดออกซิเดชันที่อุณหภูมิสูง ได้ดี และความต้านทานการกัดกร่อน ของฟิล์ม ไทเทเนียมอลูมิเนียม ในไตรค์

Buranawong, Witit-anun, Chaiyakun, Pokaipisit, and Limsuwan (2011) ศึกษาผลของ กระแส ไทเทเนียมต่อ โครงสร้างและความแข็งของฟิล์ม อลูมิเนียม ไทเทเนียม ในไตรค์ โดยเทคนิค รีแอคติฟอันบาลานซ์แมกนีตรอน โคลสปีตเตอริง ผลีกระดับนาโนของฟิล์มบาง อลูมิเนียม ไทเทเนียม ในไตรค์ (AlTi_3N) ที่เคลือบบนชิลิกอน (100) และ กริด โดยไม่มีความร้อนจากภายนอก และ การ ไบแอสที่อุณหภูมิห้อง โดยเทคนิครีแอคติฟอันบาลานซ์แมกนีตรอน โคลสปีตเตอริง ซึ่งใช้เป้า ไทเทเนียม และ อลูมิเนียมบริสุทธิ์ ผลของกระแสไฟฟ้าที่ให้กับเป้า ไทเทเนียม (I_{Ti}) ที่มีต่อ โครงสร้าง และความแข็งของฟิล์ม เป็นสิ่งที่สนใจ ศึกษา ฟิล์มถูกสปีตเตอริงด้วย อาร์กอน และ ในไตรเจน ในอัตรา 8 และ 4 sccm ตามลำดับ กระแสไฟฟ้าที่ให้กับเป้า อลูมิเนียม (I_{Al}) กำหนดไว้ที่ 600 mA และกระแสไฟฟ้าที่ให้กับเป้า ไทเทเนียม (I_{Ti}) แปรค่าจาก 600 ถึง 800 mA ฟิล์มถูกเคลือบ

โดยเวลาการเคลือบที่แตกต่างกัน อよ้วนช่วง 15 ถึง 60 นาที นำฟิล์มที่เคลือบแล้วไปศึกษาลักษณะเฉพาะ และวิเคราะห์โดย X-ray Diffraction (XRD), Atomic Force Microscopy (AFM), Scanning Electron Microscopy (SEM), Transmission Electron Microscopy (TEM) และ Nanoindentation ผลที่ได้ระบุถึงการเปลี่ยนแปลงโครงสร้างผลึก ลักษณะพื้นผิวและโครงสร้างระดับจุดภาค ซึ่งขึ้นกับเงื่อนไขการเคลือบ รูปแบบ XRD แสดงถึงโครงสร้างผลึกกับ preferred orientations ในระบบ (112) (004) และ (153) ซึ่งเหมือนโครงสร้างมาตรฐานของฟิล์มอลูминีียมไทเทเนียมในไตรค์ (AlTi_3N) นอกจากนี้โครงสร้างของ AlTi_3N ยังถูกยืนยันโดย TEM ผลนี้แสดงให้เห็นว่า กระแสไฟฟ้าที่ให้กับเป้าไทเทเนียมและเวลาในการเคลือบ มีอิทธิพลอย่างมากต่อปริมาณอลูминีียม ค่าความหยาบผิวและความหนาของฟิล์ม การวิเคราะห์ภาคตัดขวาง โดย SEM แสดงถึงความหนาแน่น และอัตราแน่นของลักษณะพื้นผิวของเกร็น ความแข็งของฟิล์มส่วนใหญ่มีค่าประมาณ 26.24-30.37 GPa

Sheng-Sheng, Ying, Jia-Bao, Jun, and Chao (2008) ศึกษาผลของการบวนการเคลือบต่อรูปแบบความเค้นคงค้างและความหนาในฟิล์ม (Ti, Al)N ผลของการบวนการเคลือบที่มีต่อการกระจายความเค้นคงค้างในความหนาของฟิล์ม (Ti, Al)N ที่เตรียมด้วยวิธีอาร์กไออกอนเพลตติง (arc ion plating, AIP) ซึ่งเป็นสิ่งที่สนใจในการนำเสนองาน ซึ่งระบุถึงการนำเสนอการกระจายความเค้นรูปแบบบรรจง และความเค้นอัตราสุดประภูมิในชั้นไกล์พื้นผิว ความเค้นคงค้างเพิ่มขึ้นตามความหนาของฟิล์มและการจ่ายไบแอสเก็ตส์ครองรับตามลำดับ การกระจายความเค้นและการยึดเกาะของฟิล์มกับวัสดุรองรับสามารถทำได้โดยปรับเงื่อนไขการเคลือบให้เหมาะสม ซึ่งฟิล์มที่มีความหนา 7.57 μm เป็นฟิล์มที่มีกระแสไฟฟ้าของวัสดุรองรับที่เหมาะสม